

Disponibilité et sécurité des réseaux (I)IoT

Antoine Gallais

Séminaire LAMIH - Université Polytechnique Hauts-de-France (UPHF)

Emplois :	MC (27 ^{ème} section)	2008-* , Univ. Strasbourg (UFR Math. Info. / ICube, UMR 7357)
		2017-19 , Inria Lille - Nord Europe (délég. temps plein)
	ATER	2007-08 , Univ. Sc. & Techno. de Lille (IUT A / LIFL, UMR 8022)
	Allocataire (MESR), <i>moniteur</i>	2004-07 , Univ. Sc. & Techno. de Lille (LIFL, UMR 8022), IUT A

Coordinnées :	Web	http://antoine-gallais.github.io
	Mails	gallais@unistra.fr / antoine.gallais@inria.fr

Activités de recherche



Résidence séniors,
Brumath, Alsace



2008



2016



Activités de recherche



Résidence séniors,
Brumath, Alsace



2008 Efficacité énergétique ? Acheminement des données ?

2016

Contrôle d'accès au medium
Routage



Activités de recherche



Résidence séniors,
Brumath, Alsace

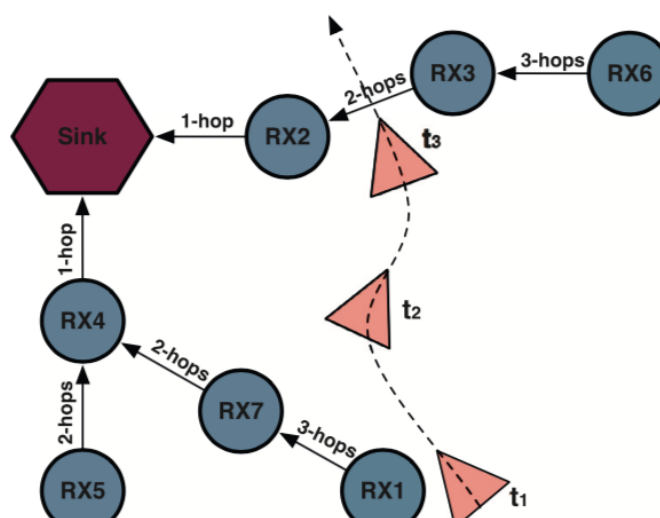
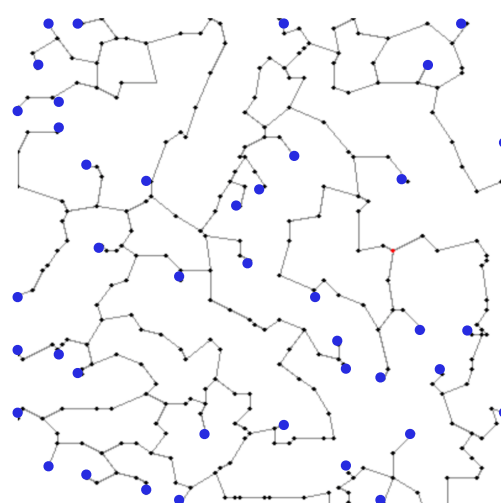


2008 Efficacité énergétique ? Acheminement des données ?

2016

Contrôle d'accès au medium
Routage

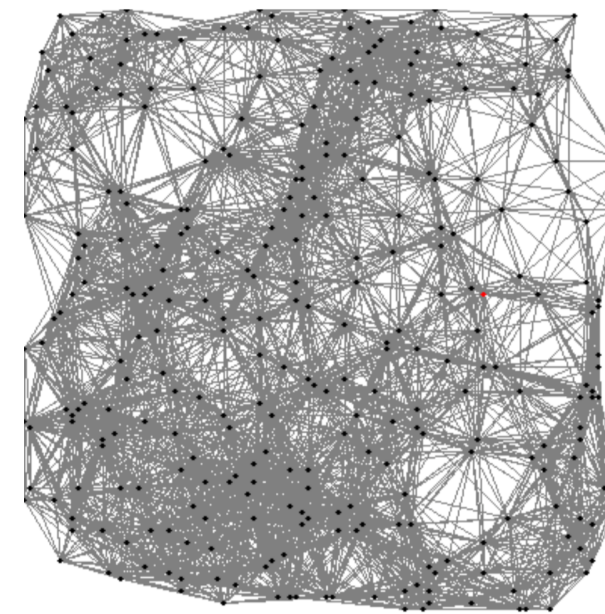
Auto-configuration / adaptation



Antoine GALLAIS

2008-16 : MAC asynchrone (*Low-Power Listening*, LPL)

- Périodes de sommeil et préambules ?
 - i.e.,  ou 



2008-16 : MAC asynchrone (*Low-Power Listening*, LPL)

X.-Y. Li, Y. Wang, and W.-Z. Song, "Applications of k-local MST for topology control and broadcasting in wireless ad hoc networks," IEEE Transactions on Parallel and Distributed Systems (TPDS), vol. 15, no. 12, pp. 1057–1069, 2004.

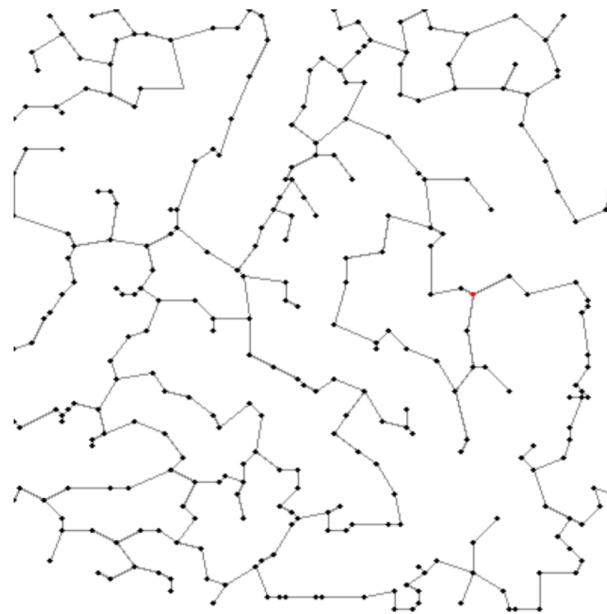
- Périodes de sommeil et préambules ?

- i.e.,  ou 

→ Topologie physique

- Trouver l'arbre couvrant minimal...
- ...de façon localisée.

→ Feuilles non relais (*sensing-only*)



1. Every node u collects the location information of $N_2(u)$ based on an efficient method described in [32] (reviewed in detail later).
2. Every node u computes the Euclidean minimum spanning tree $MST(N_2(u))$ of its 2-hop neighbors $N_2(u)$, including u itself.
3. A node u proposes to add a directed edge \overrightarrow{uv} if $uv \in MST(N_2(u))$ and $\|uv\| \leq 1$.

2008-16 : MAC asynchrone (*Low-Power Listening*, LPL)

X.-Y. Li, Y. Wang, and W.-Z. Song, "Applications of k-local MST for topology control and broadcasting in wireless ad hoc networks," IEEE Transactions on Parallel and Distributed Systems (TPDS), vol. 15, no. 12, pp. 1057-1069, 2004.

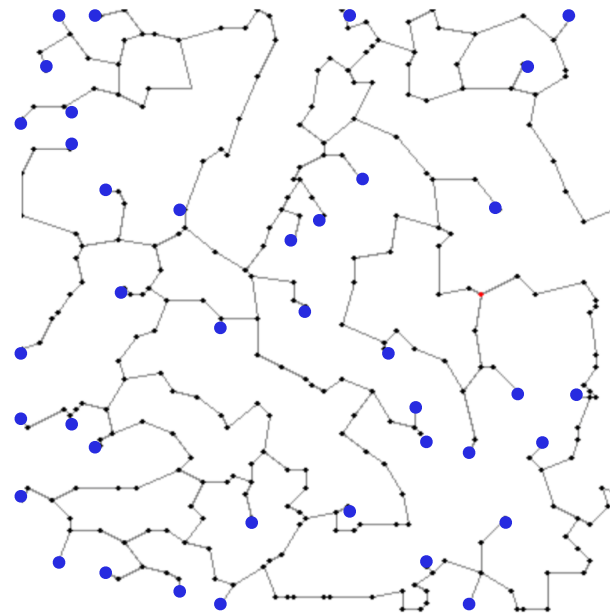
- Périodes de sommeil et préambules ?

- i.e.,  ou 

→ Topologie physique

- Trouver l'arbre couvrant minimal...
- ...de façon localisée.

→ Feuilles non relais (*sensing-only*)



1. Every node u collects the location information of $N_2(u)$ based on an efficient method described in [32] (reviewed in detail later).
2. Every node u computes the Euclidean minimum spanning tree $MST(N_2(u))$ of its 2-hop neighbors $N_2(u)$, including u itself.
3. A node u proposes to add a directed edge \overrightarrow{uv} if $uv \in MST(N_2(u))$ and $\|uv\| \leq 1$.

2008-16 : MAC asynchrone (*Low-Power Listening*, LPL)

X.-Y. Li, Y. Wang, and W.-Z. Song, "Applications of k-local MST for topology control and broadcasting in wireless ad hoc networks," IEEE Transactions on Parallel and Distributed Systems (TPDS), vol. 15, no. 12, pp. 1057-1069, 2004.

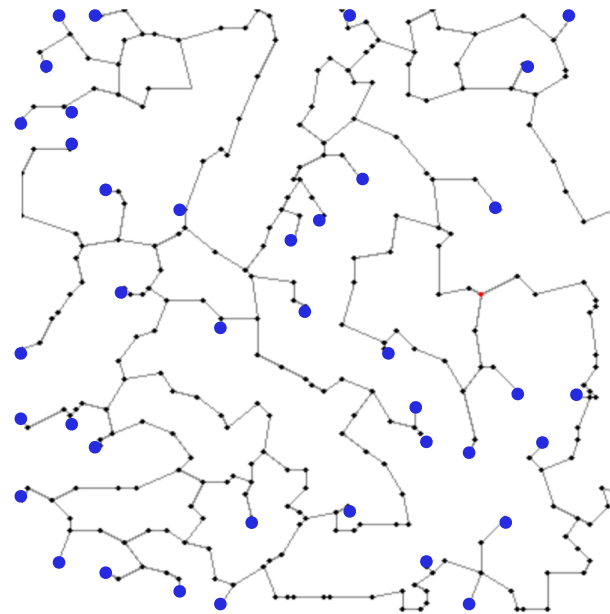
- Périodes de sommeil et préambules ?

- i.e.,  ou 

→ Topologie physique

- Trouver l'arbre couvrant minimal...
- ...de façon localisée.

→ Feuilles non relais (*sensing-only*)

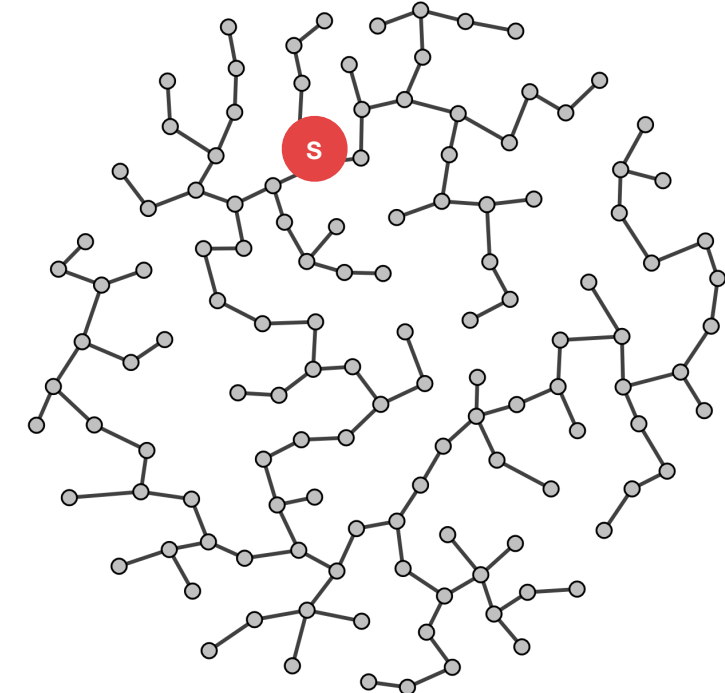


1. Every node u collects the location information of $N_2(u)$ based on an efficient method described in [32] (reviewed in detail later).
2. Every node u computes the Euclidean minimum spanning tree $MST(N_2(u))$ of its 2-hop neighbors $N_2(u)$, including u itself.
3. A node u proposes to add a directed edge \overrightarrow{uv} if $uv \in MST(N_2(u))$ and $\|uv\| \leq 1$.

→ Topologie logique

- Exemple : topologie de routage (gradient)

→ Feuilles non relais (*sensing-only*)



C. Intanagonwiwat, R. Govindan, D. Estrin, J. Heidemann, and F. Silva, "Directed diffusion for wireless sensor networking," IEEE/ACM Transactions on Networking (ToN), vol. 11, no. 1, pp. 2-16, 2003.

T. Winter, P. Thubert, A. Brandt, J. Hui, R. Kelsey, P. Levis, K. Pister, R. Struik, J. Vasseur, and R. Alexander, "RPL: IPv6 Routing Protocol for Low-Power and Lossy Networks," Internet Engineering Task Force Request for Comments (RFC) 6550, 2012.

2008-16 : MAC asynchrone (*Low-Power Listening*, LPL)

X.-Y. Li, Y. Wang, and W.-Z. Song, "Applications of k-local MST for topology control and broadcasting in wireless ad hoc networks," IEEE Transactions on Parallel and Distributed Systems (TPDS), vol. 15, no. 12, pp. 1057-1069, 2004.

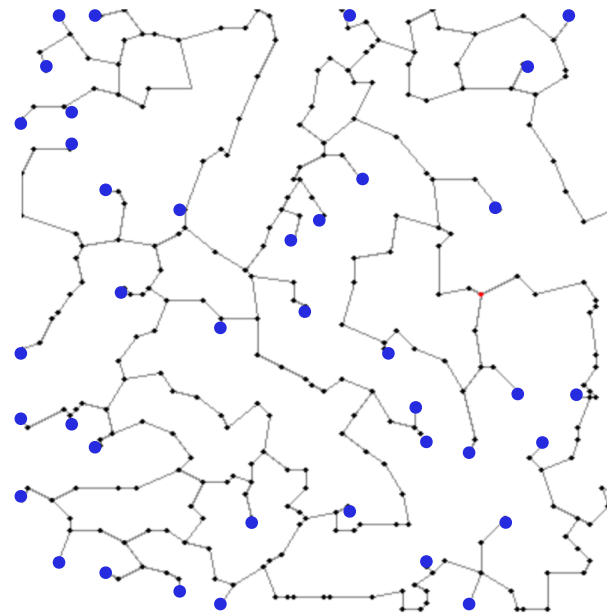
- Périodes de sommeil et préambules ?

- i.e.,  ou 

→ Topologie physique

- Trouver l'arbre couvrant minimal...
- ...de façon localisée.

→ Feuilles non relais (*sensing-only*)

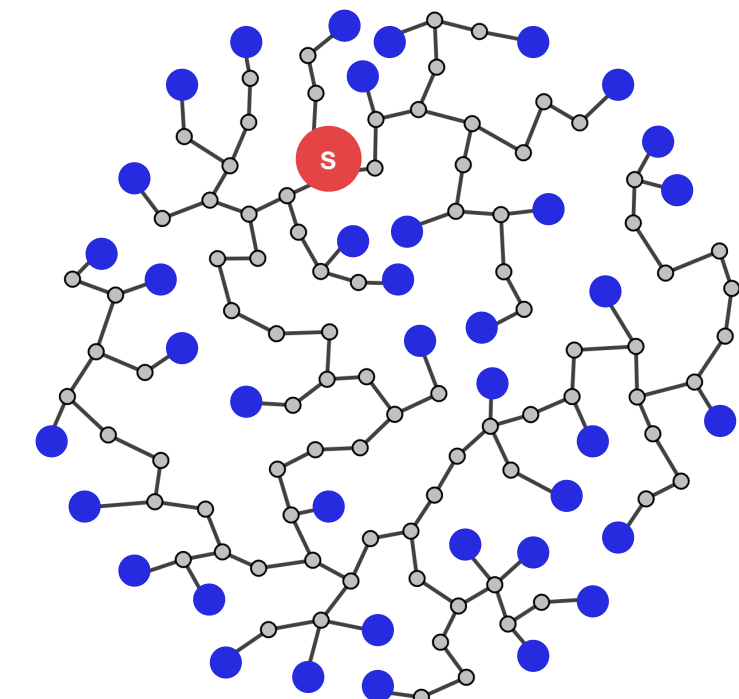


1. Every node u collects the location information of $N_2(u)$ based on an efficient method described in [32] (reviewed in detail later).
2. Every node u computes the Euclidean minimum spanning tree $MST(N_2(u))$ of its 2-hop neighbors $N_2(u)$, including u itself.
3. A node u proposes to add a directed edge \overrightarrow{uv} if $uv \in MST(N_2(u))$ and $\|uv\| \leq 1$.

→ Topologie logique

- Exemple : topologie de routage (gradient)

→ Feuilles non relais (*sensing-only*)

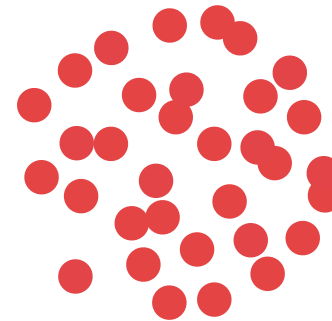


C. Intanagonwiwat, R. Govindan, D. Estrin, J. Heidemann, and F. Silva, "Directed diffusion for wireless sensor networking," IEEE/ACM Transactions on Networking (ToN), vol. 11, no. 1, pp. 2-16, 2003.

T. Winter, P. Thubert, A. Brandt, J. Hui, R. Kelsey, P. Levis, K. Pister, R. Struik, J. Vasseur, and R. Alexander, "RPL: IPv6 Routing Protocol for Low-Power and Lossy Networks," Internet Engineering Task Force Request for Comments (RFC) 6550, 2012.

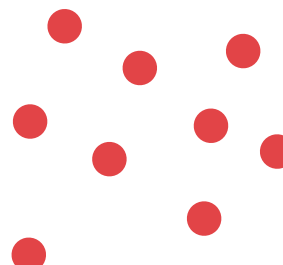
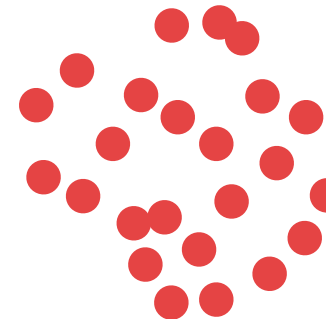
2008-16 : MAC asynchrone (*Low-Power Listening*, LPL)

- Partitionnement : utilité d'un noeud pour l'application => niveau d'activité ?



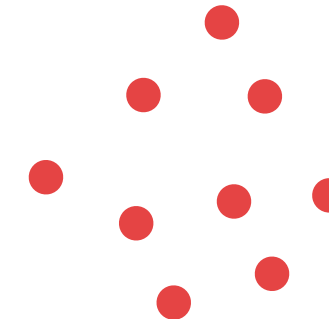
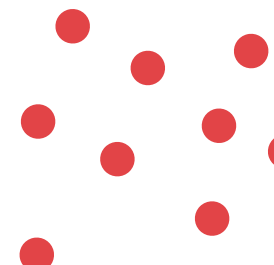
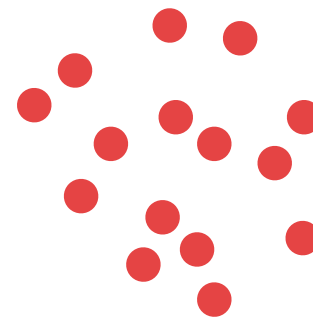
2008-16 : MAC asynchrone (*Low-Power Listening*, LPL)

- Partitionnement : utilité d'un noeud pour l'application => niveau d'activité ?



2008-16 : MAC asynchrone (*Low-Power Listening*, LPL)

- Partitionnement : utilité d'un noeud pour l'application => niveau d'activité ?



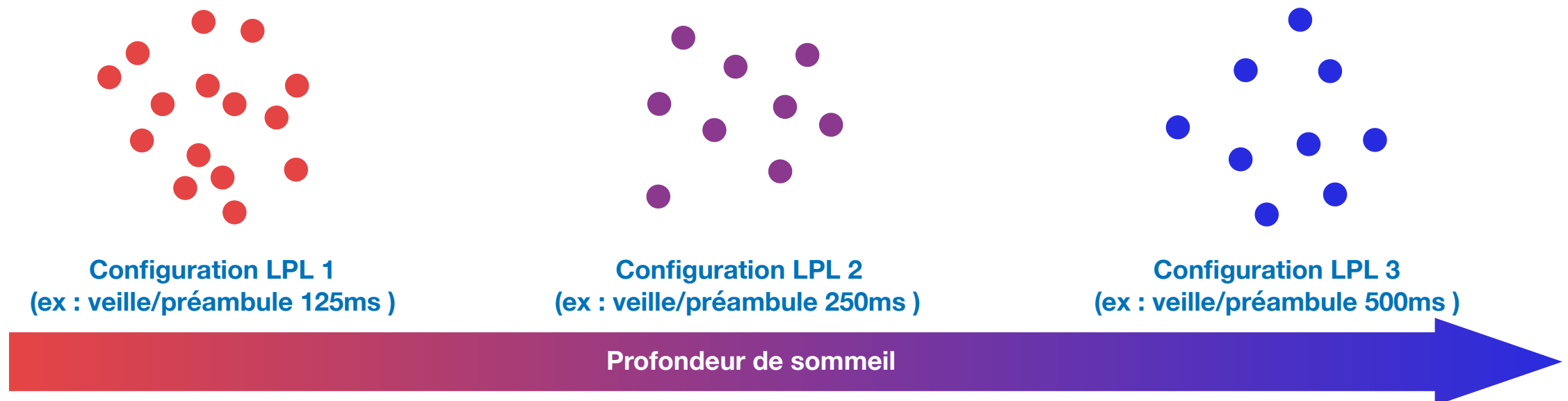
2008-16 : MAC asynchrone (*Low-Power Listening*, LPL)

- Partitionnement : utilité d'un noeud pour l'application => niveau d'activité ?



2008-16 : MAC asynchrone (*Low-Power Listening*, LPL)

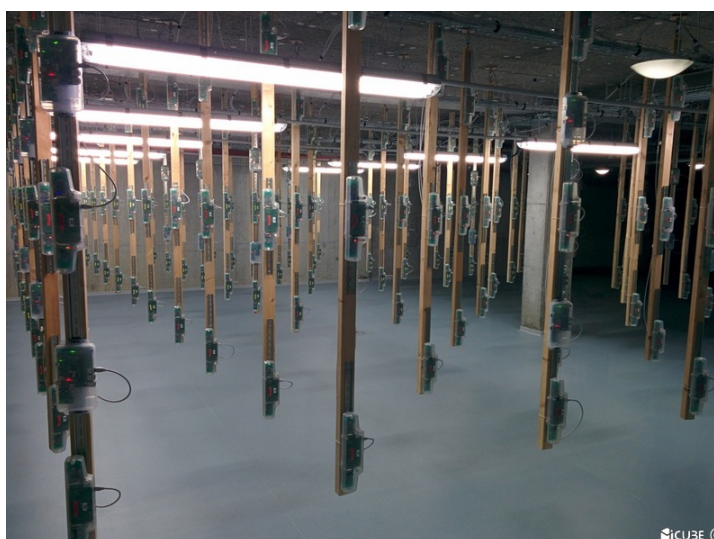
- Partitionnement : utilité d'un noeud pour l'application => niveau d'activité ?



- Préambule noeud de couche $n+1$ > période de veille noeud de couche n
 - Noeud de couche n peut communiquer avec noeud de couche m (où $m < n$)

2008-16 : MAC asynchrone (*Low-Power Listening*, LPL)

- Partitionnement : utilité d'un noeud pour l'application => niveau d'activité ?



Critère de partitionnement

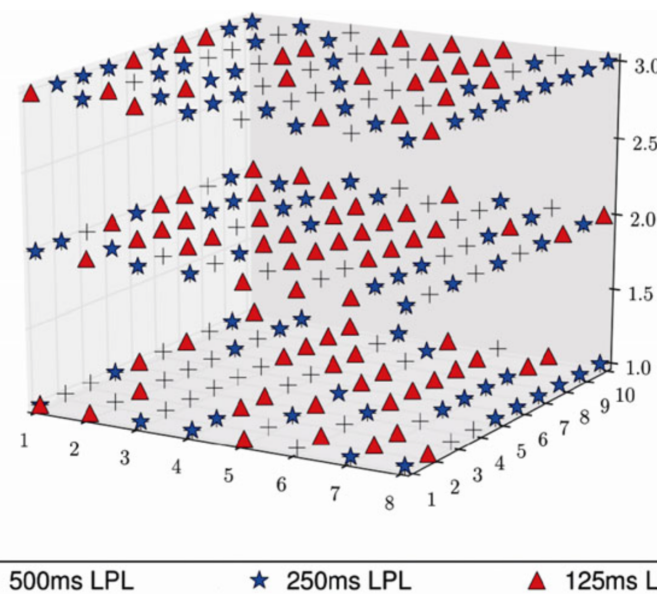
=

contrôle de densité

(après un temps d'attente,
si x voisins à niveau i , alors niveau $i++$)

2008-16 : MAC asynchrone (*Low-Power Listening*, LPL)

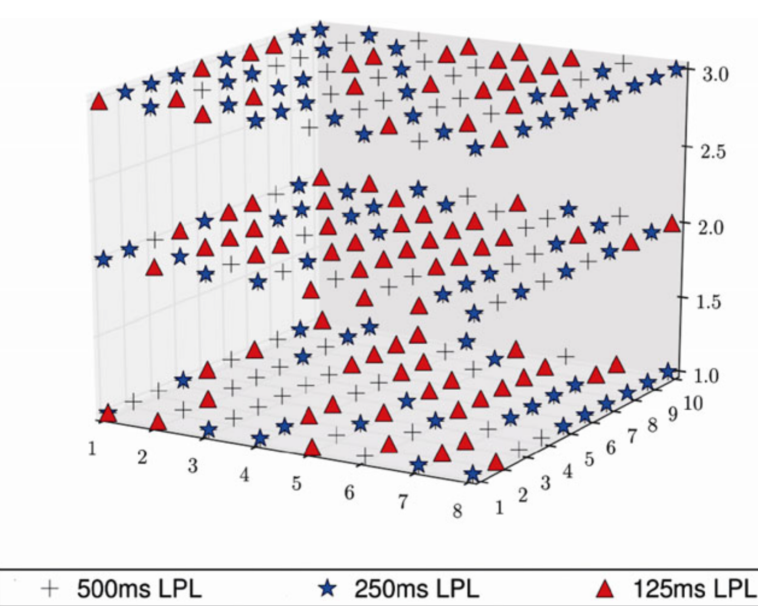
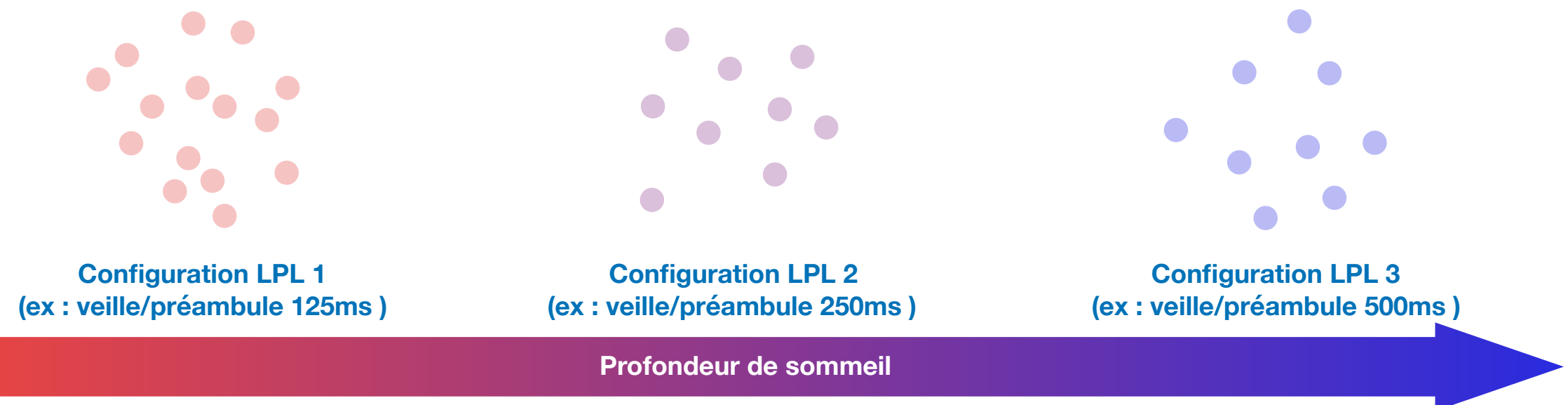
- Partitionnement : utilité d'un noeud pour l'application => niveau d'activité ?



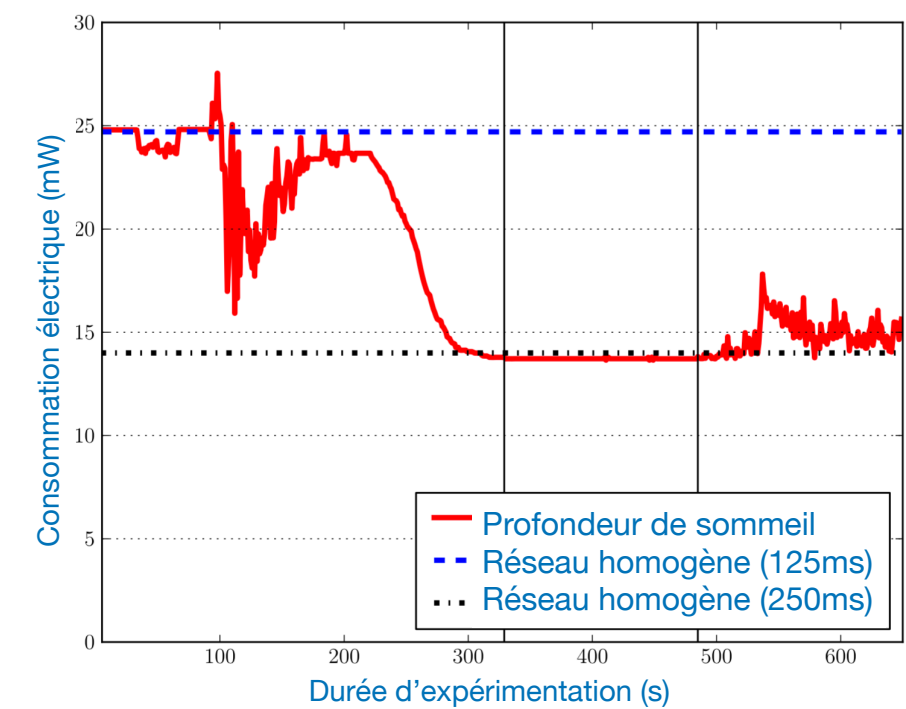
Critère de partitionnement
=
contrôle de densité
(après un temps d'attente,
si x voisins à niveau i, alors niveau i++)

2008-16 : MAC asynchrone (*Low-Power Listening*, LPL)

- Partitionnement : utilité d'un noeud pour l'application => niveau d'activité ?

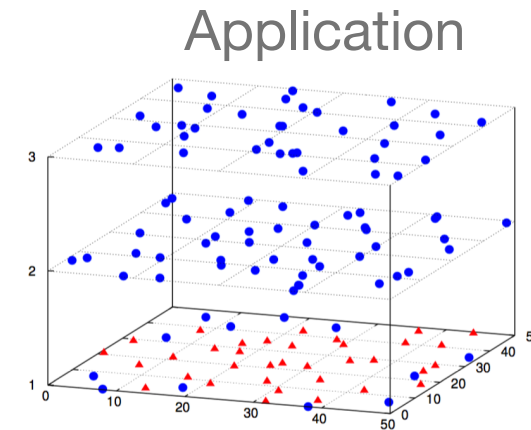
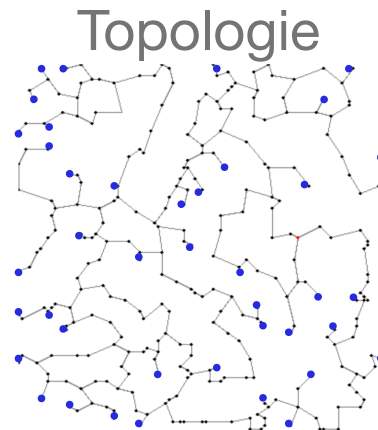


Critère de partitionnement
=
contrôle de densité
(après un temps d'attente,
si x voisins à niveau i , alors niveau $i++$)



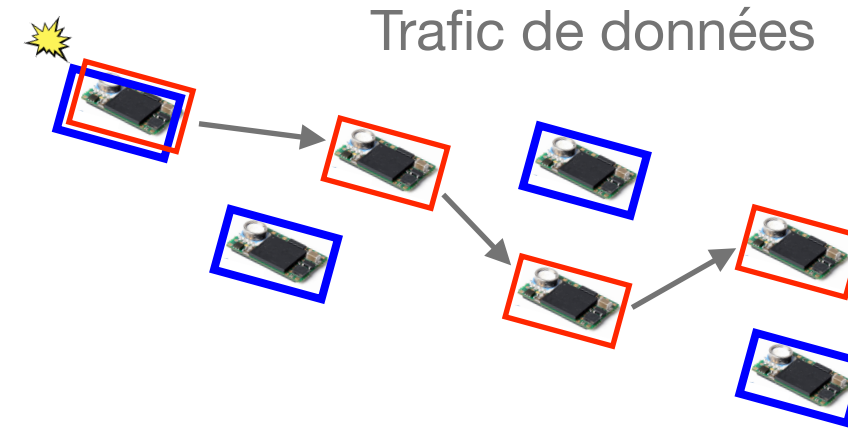
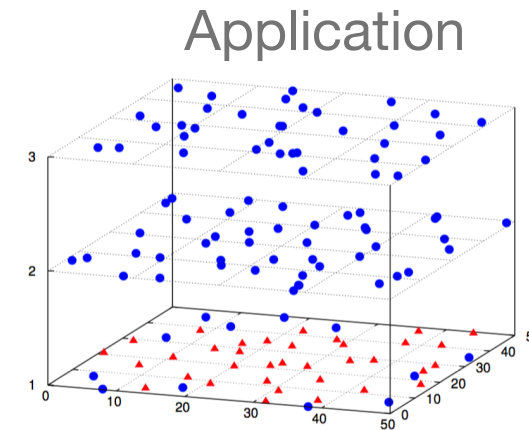
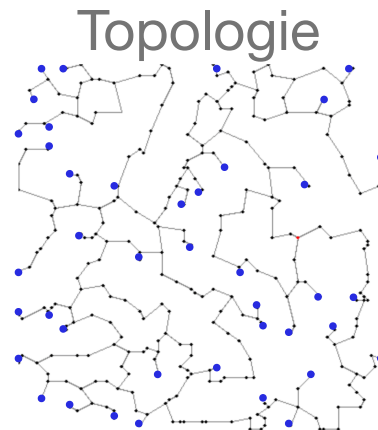
2008-16 : MAC asynchrone (*Low-Power Listening*, LPL)

- Périodes de sommeil et préambules ? (i.e.,  ou )



2008-16 : MAC asynchrone (*Low-Power Listening*, LPL)

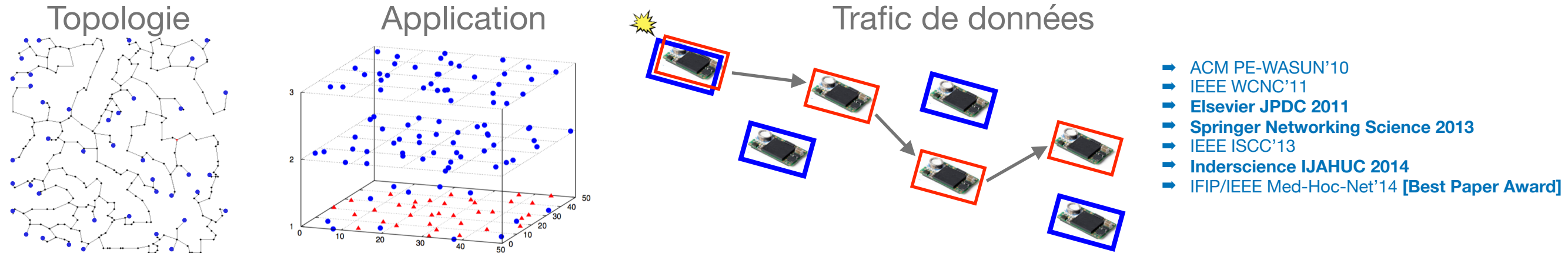
- Périodes de sommeil et préambules ? (i.e.,  ou )



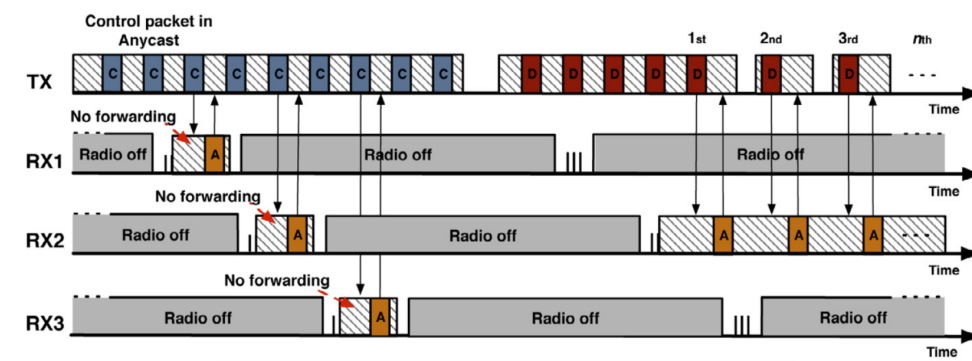
- ACM PE-WASUN'10
- IEEE WCNC'11
- Elsevier JPDC 2011
- Springer Networking Science 2013
- IEEE ISCC'13
- Inderscience IJAHUC 2014
- IFIP/IEEE Med-Hoc-Net'14 [Best Paper Award]

2008-16 : MAC asynchrone (*Low-Power Listening*, LPL)

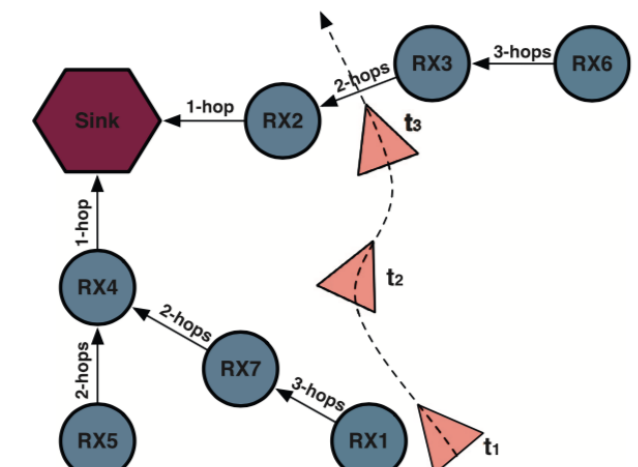
- Périodes de sommeil et préambules ? (i.e.,  ou )



- Prise en compte de la mobilité



- IEEE Sensors'14 [Best student paper award]
- IEEE WF-IoT'15
- Springer Mobile Net. and App. 2015
- IEEE GLOBECOM'16
- Elsevier Ad Hoc Nets 2016



2008-16 : MAC asynchrone (*Low-Power Listening*, LPL)

- Périodes de sommeil et préambules ? (i.e.,  ou 

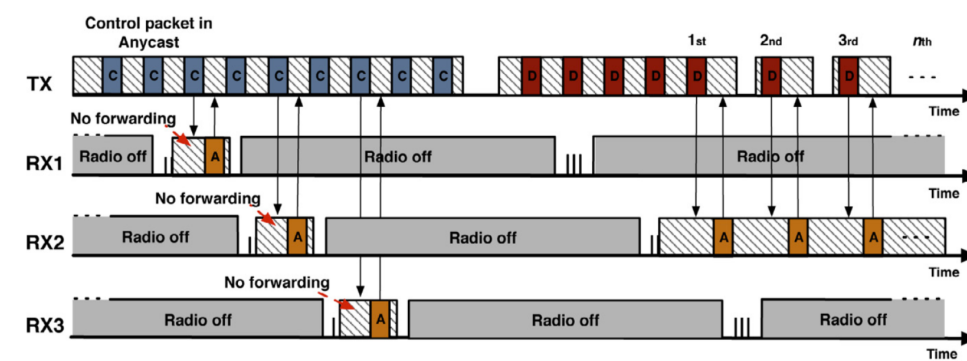
Topologie: A network graph showing a mesh of nodes connected by lines.

Application: A 3D plot showing nodes in a 3D space (x, y, z axes) with blue dots representing nodes and red triangles representing data points.

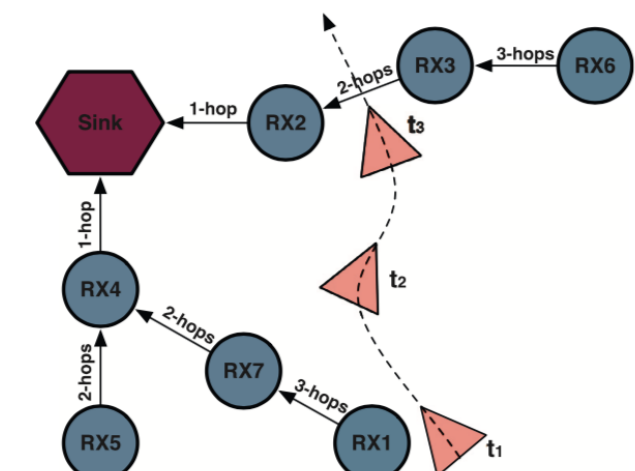
Trafic de données: A sequence of nodes (represented as small boards) receiving data frames (represented as arrows pointing to the nodes).

 - ACM PE-WASUN'10
 - IEEE WCNC'11
 - Elsevier JPDC 2011
 - Springer Networking Science 2013
 - IEEE ISCC'13
 - Inderscience IJAHUC 2014
 - IFIP/IEEE Med-Hoc-Net'14 [Best Paper Award]

- Prise en compte de la mobilité

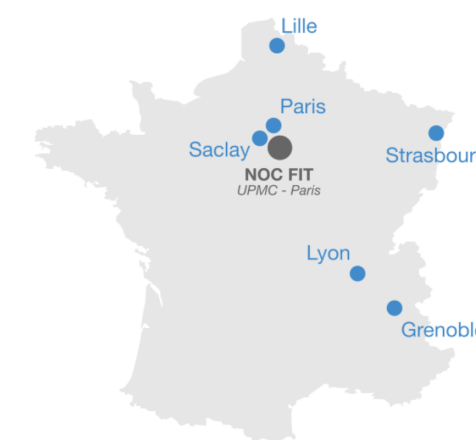


- IEEE Sensors'14 [Best student paper award]
- IEEE WF-IoT'15
- Springer Mobile Net. and App. 2015
- IEEE GLOBECOM'16
- Elsevier Ad Hoc Nets 2016



- Evaluation de performances

→ Reproductibilité des résultats ?



- ICST TRIDENTCOM '11
- IFIP Networking'11
- IEEE Sensors Journal 2013
- IEEE WiMob'13
- ACM PE-WASUN'14
- IEEE Comm. Mag. 2016
- Elsevier Computer Networks 2017

Activités de recherche



Résidence séniors,
Brumath, Alsace

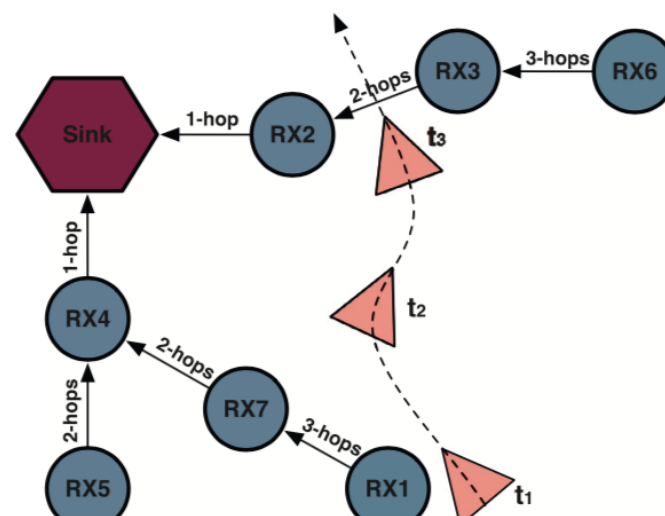
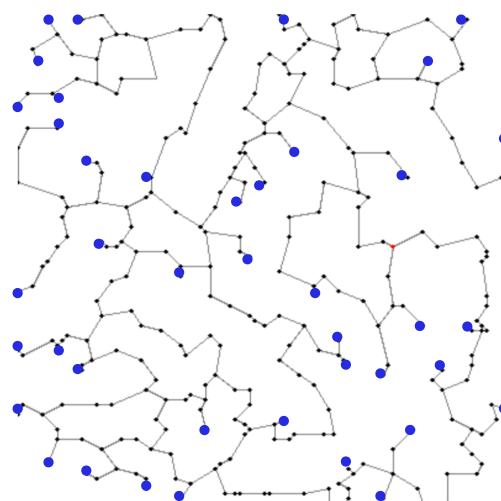


2008 Efficacité énergétique ? Acheminement des données ?

2016

Contrôle d'accès au medium
Routage

Auto-configuration / adaptation



Antoine GALLAIS

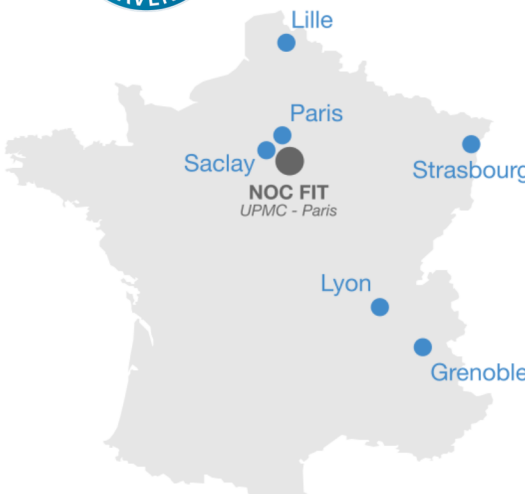
Activités de recherche



Résidence séniors,
Brumath, Alsace



**FIT
IOT-LAB**

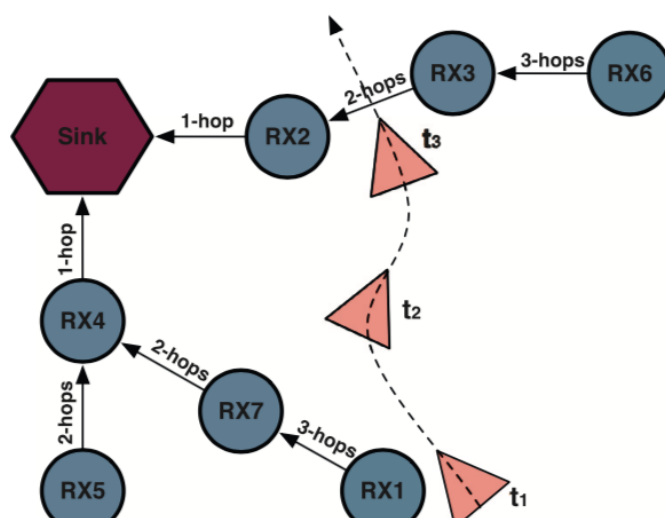
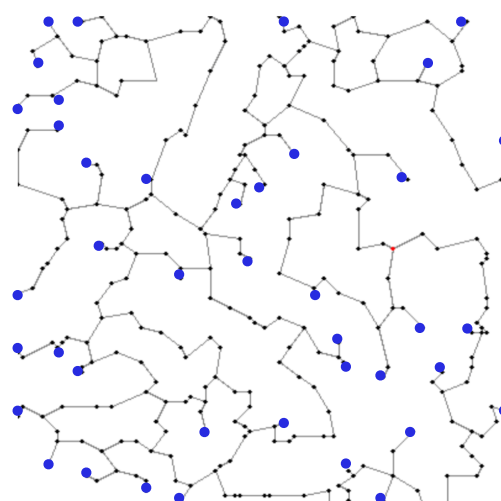


2008 Efficacité énergétique ? Acheminement des données ?

2016

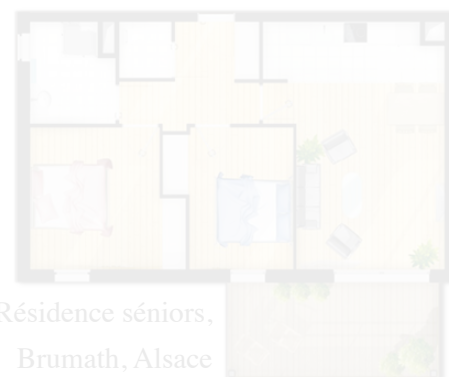
**Contrôle d'accès au medium
Routage**

Auto-configuration / adaptation



Antoine GALLAIS

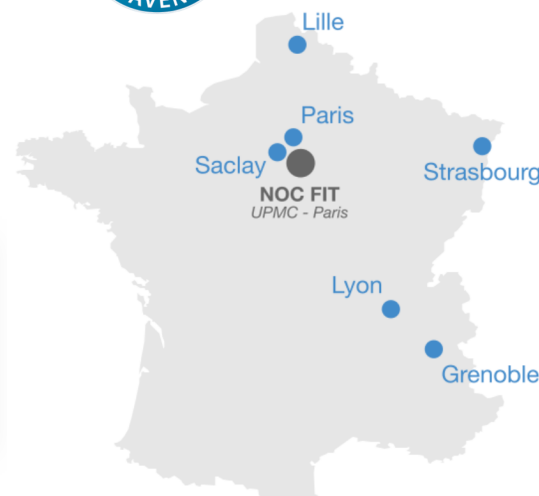
Activités de recherche



Résidence séniors,
Brumath, Alsace



**FIT
IOT-LAB**

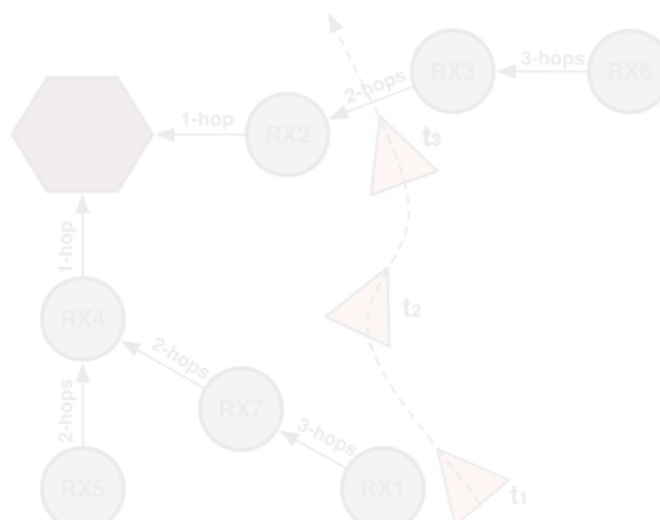


2008 Efficacité énergétique ? Acheminement des données ?

2016

**Contrôle d'accès au medium
Routage**

Auto-configuration / adaptation

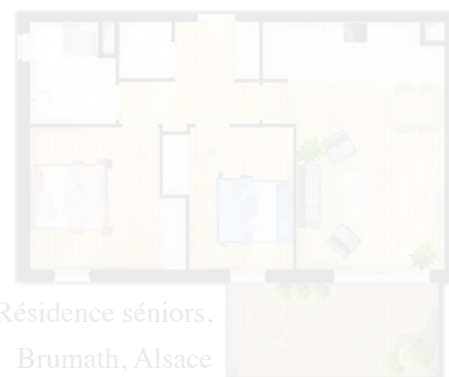


Antoine GALLAIS

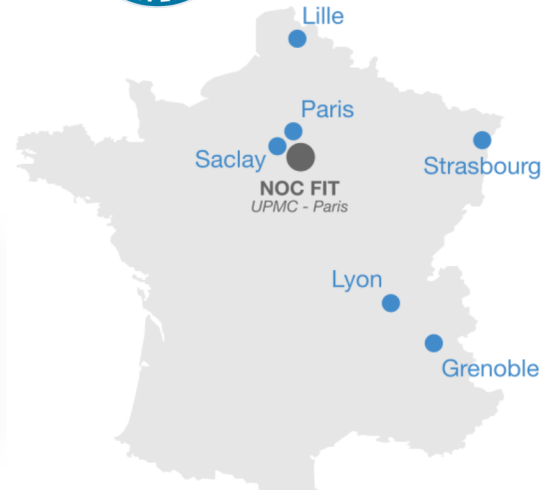


Usine du futur

Activités de recherche

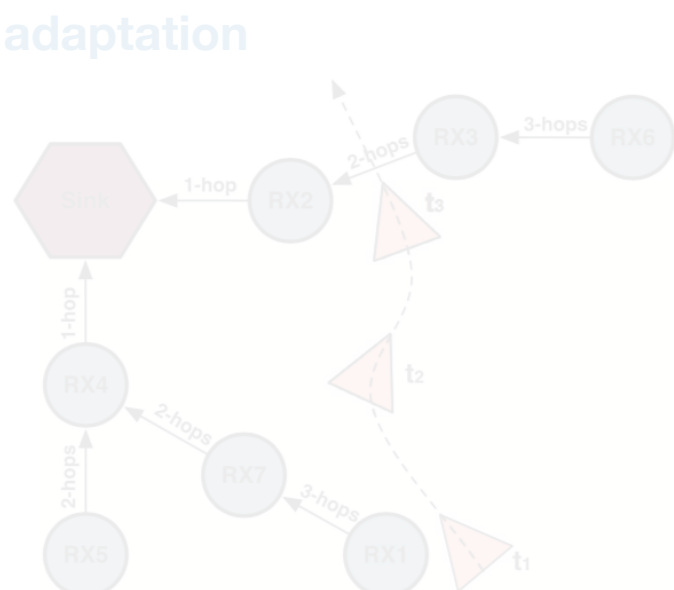


2008 Efficacité énergétique ? Acheminement des données ?



2016

Contrôle d'accès au medium
Routage

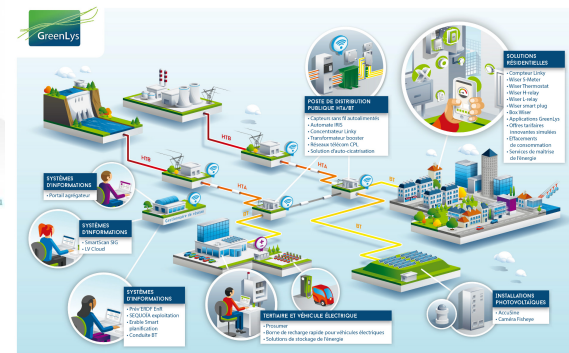


Antoine GALLAIS

Bâtiment intelligent



Réseau électrique intelligent



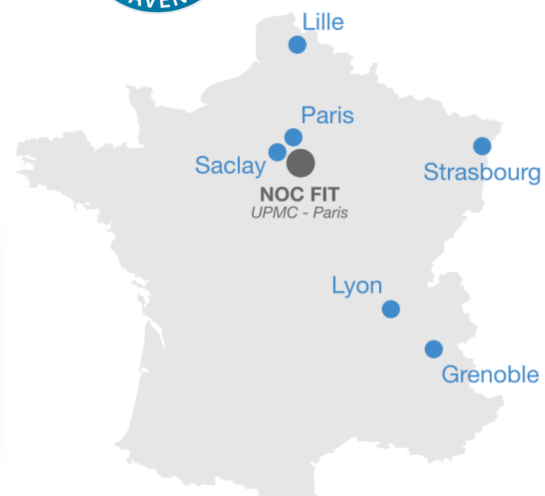
Activités de recherche



Résidence séniors,
Brumath, Alsace



**FIT
IOT-LAB**



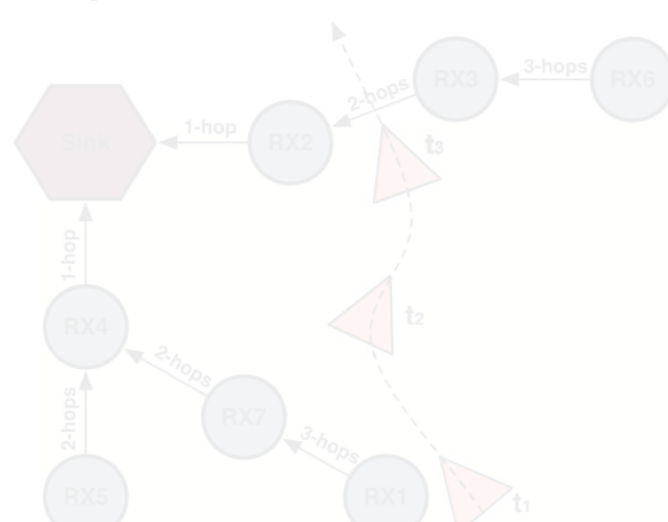
2008 Efficacité énergétique ? Acheminement des données ?

2016

Contrôle d'accès au medium
Routage

→ Disponibilité/sécurité

Auto-configuration / adaptation

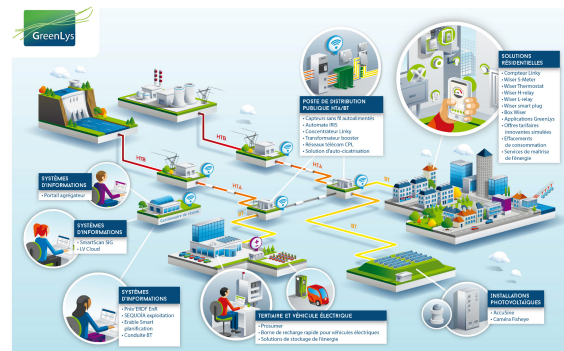


Antoine GALLAIS

Bâtiment intelligent



Réseau électrique intelligent



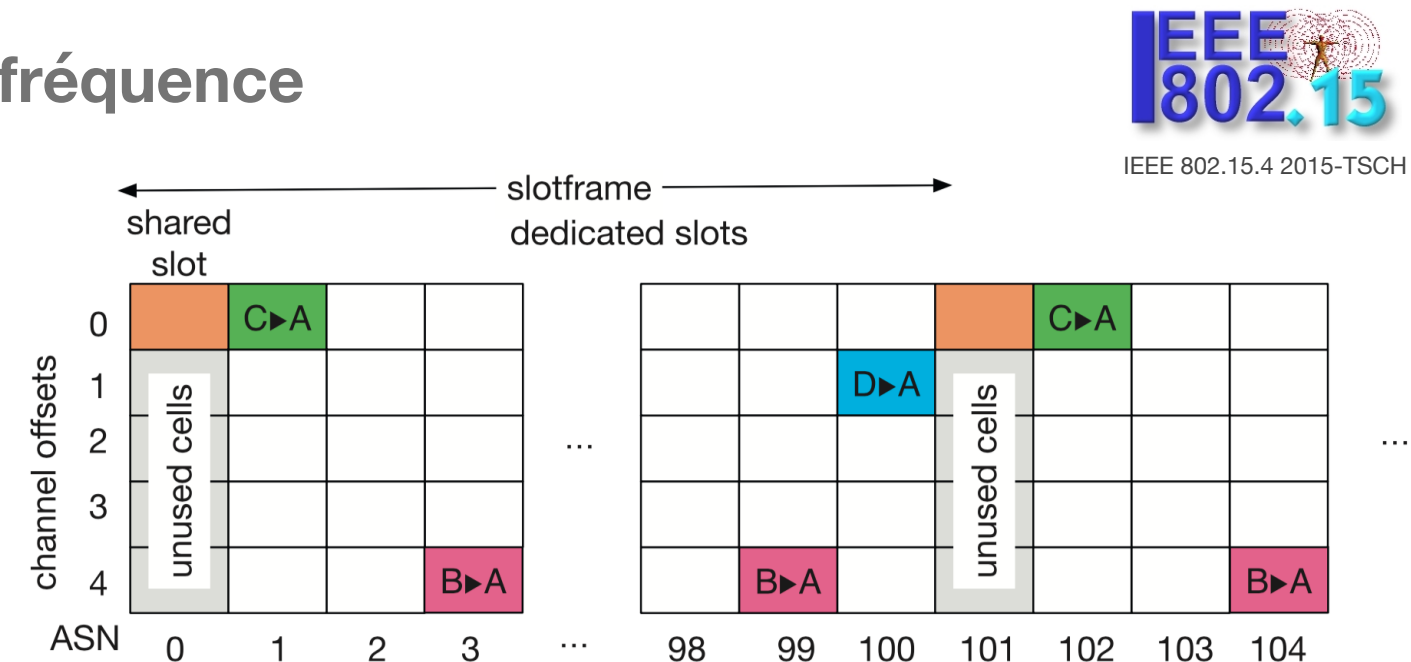
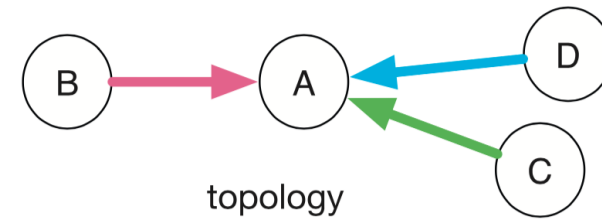
Disponibilité

IEEE 802.15.4-2015, mode TSCH

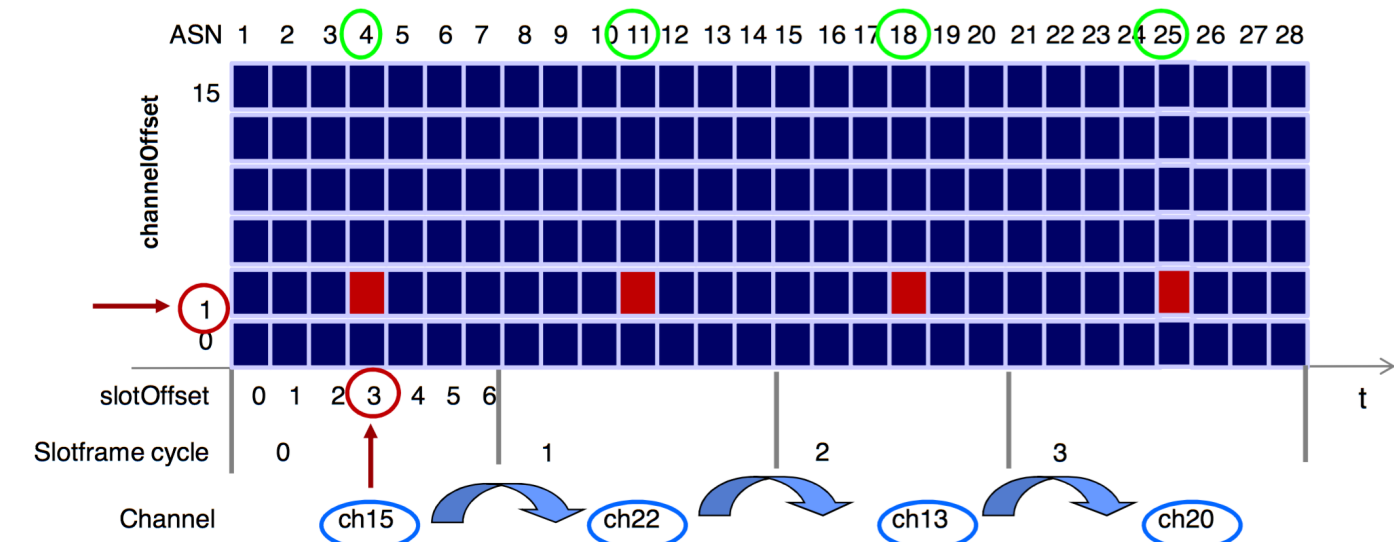
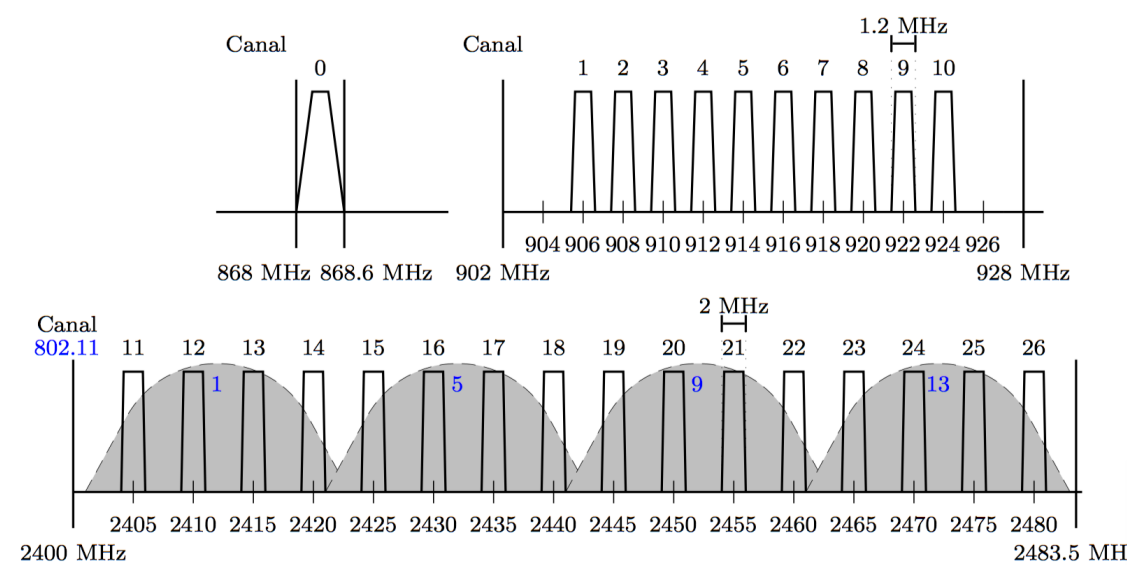
- Approches synchrones et sauts de fréquence

→ Garanties (pertes, délais)

→ Robustesse, passage à l'échelle

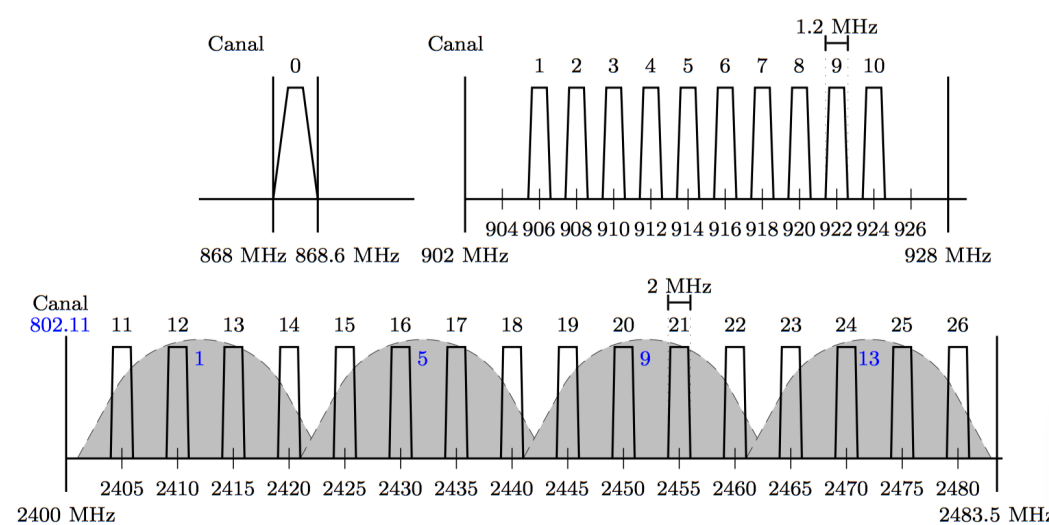
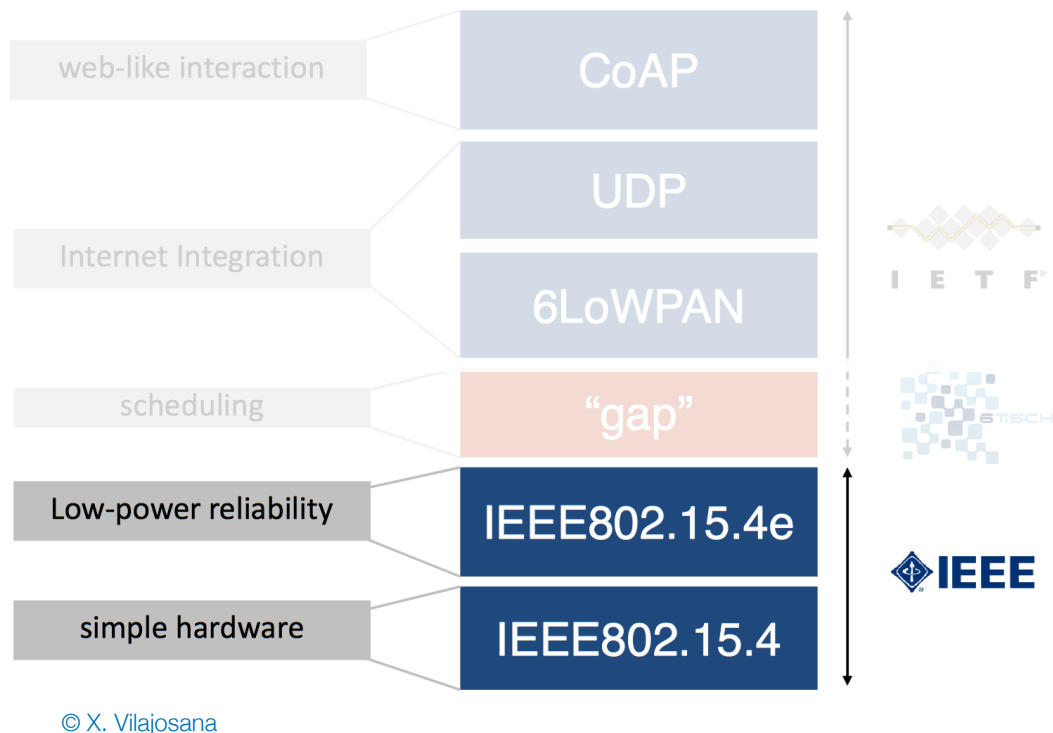


$$\text{frequency} = F\{ (\text{ASN} + \text{chOffset}) \bmod \#\text{channels} \}$$



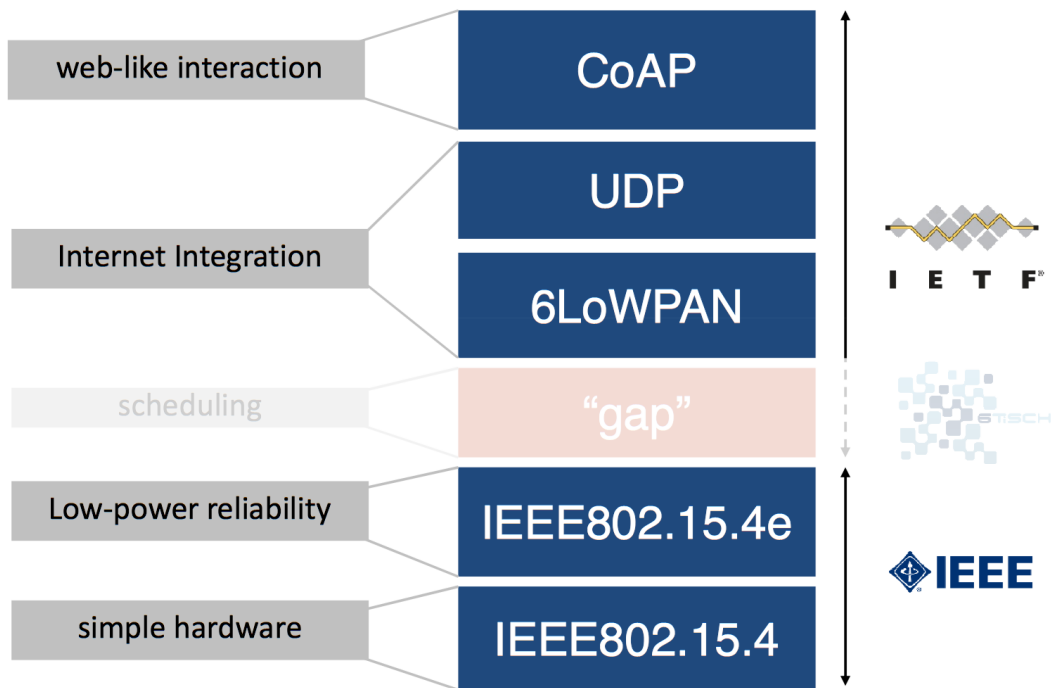


= IEEE 802.15.4-2015 (TSCH) + IPv6

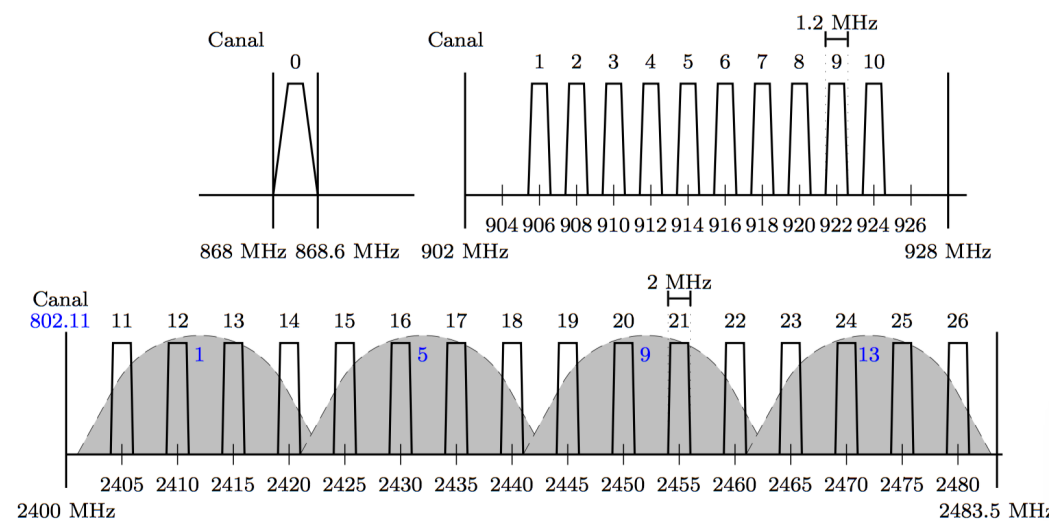




= IEEE 802.15.4-2015 (TSCH) + IPv6

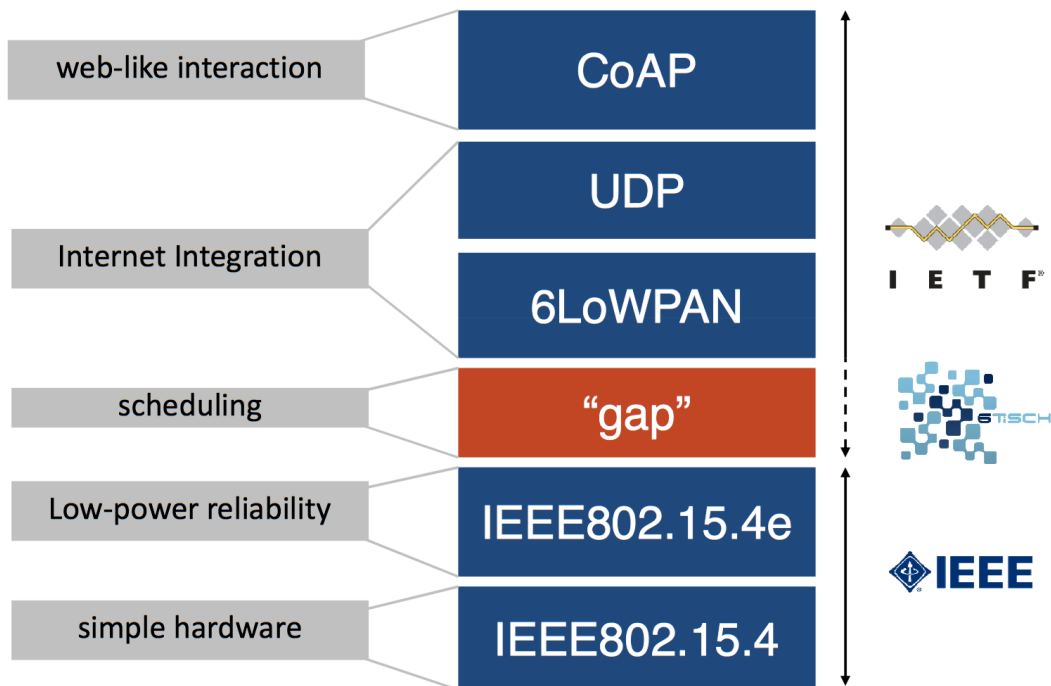


© X. Vilajosana

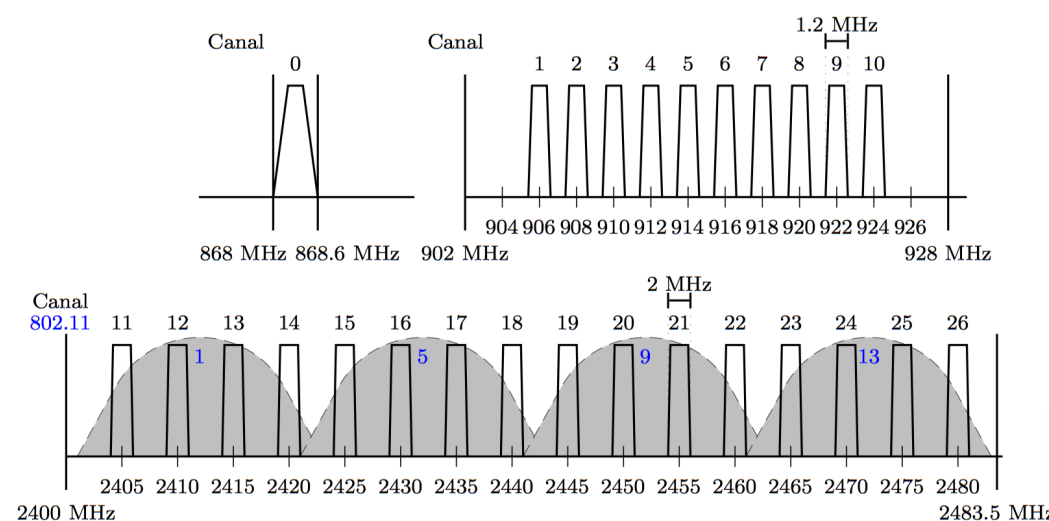




= IEEE 802.15.4-2015 (TSCH) + IPv6

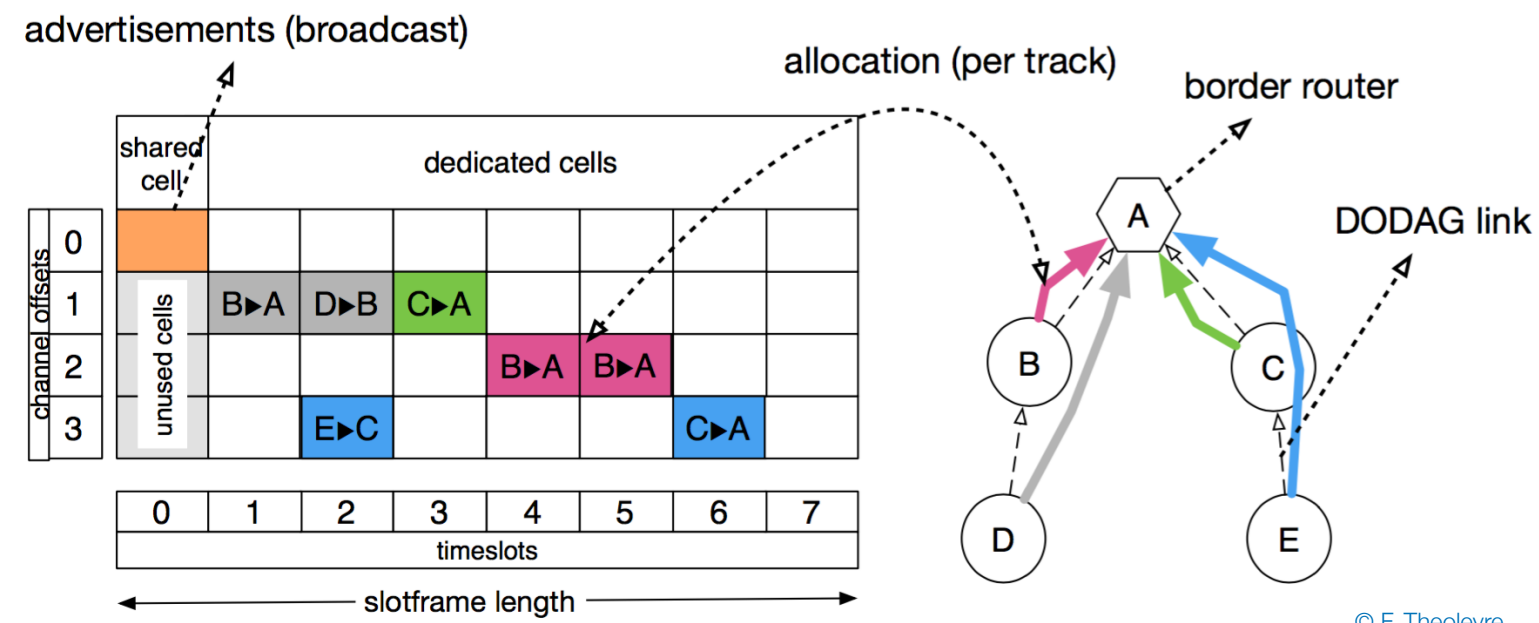
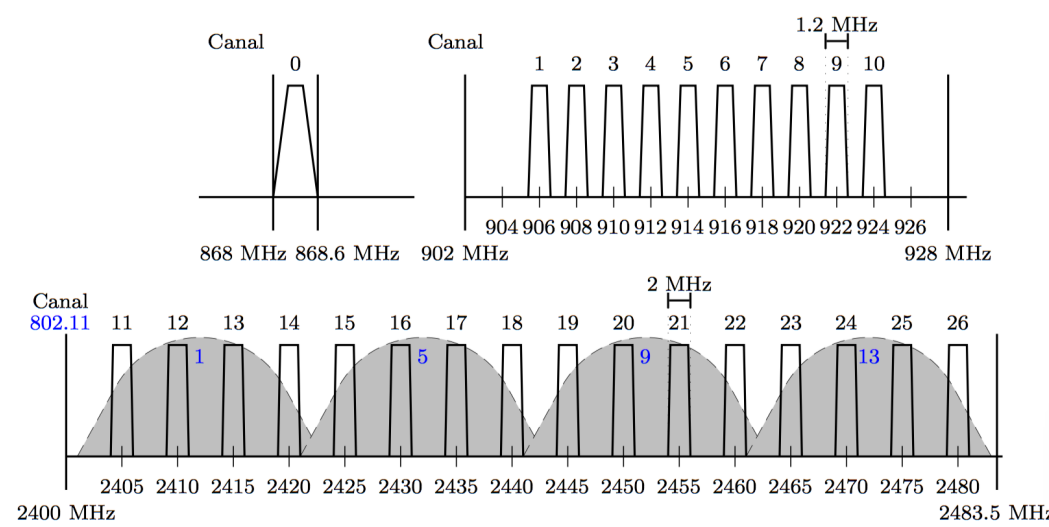
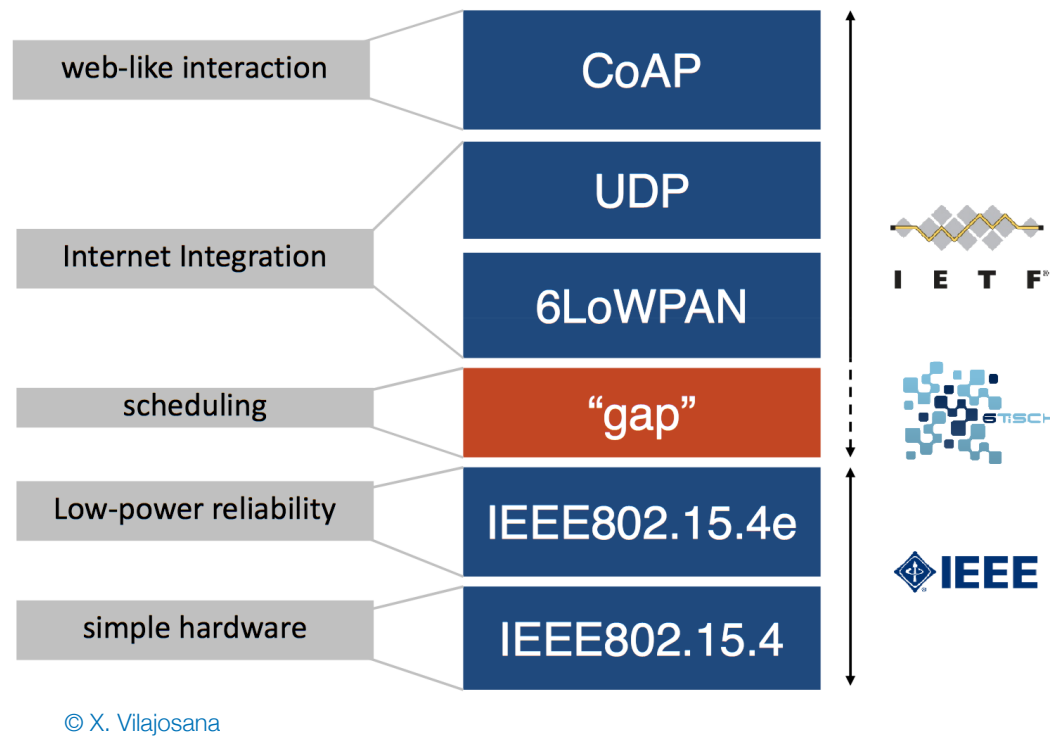


© X. Vilajosana



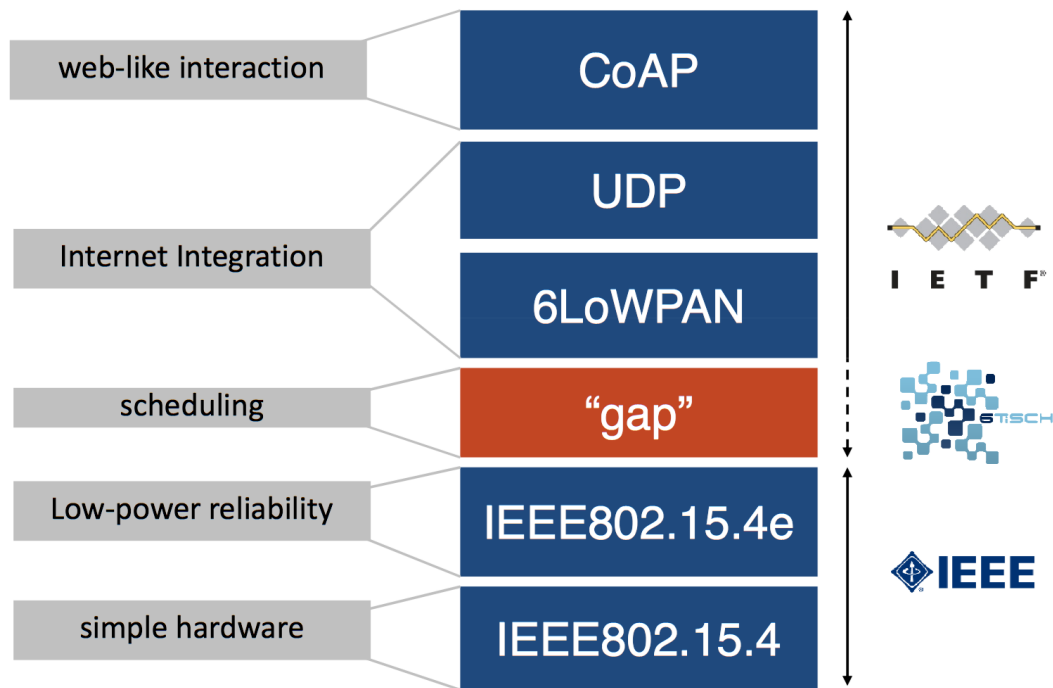


= IEEE 802.15.4-2015 (TSCH) + IPv6

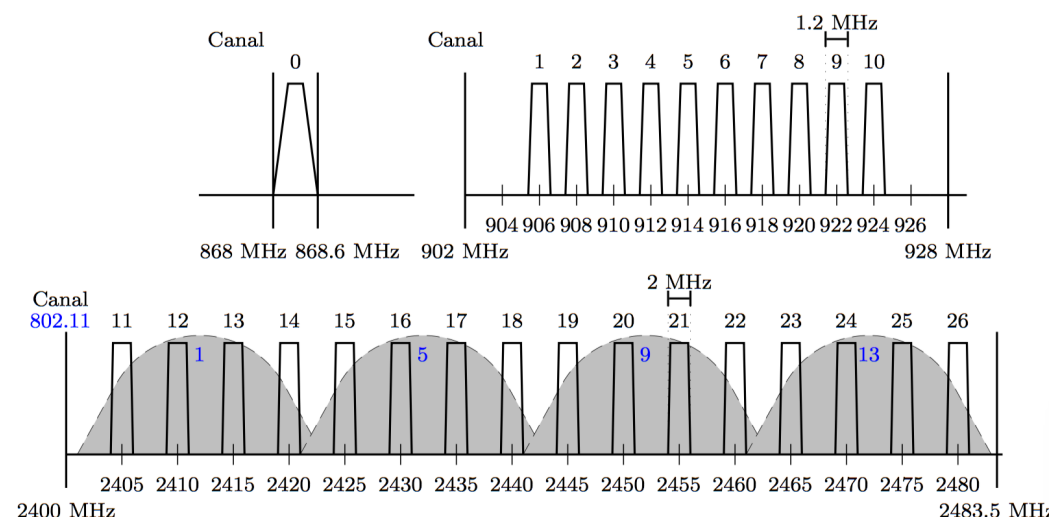




= IEEE 802.15.4-2015 (TSCH) + IPv6



© X. Vilajosana



Internet Engineering Task Force (IETF)
Request for Comments: 8480
Category: Standards Track
ISSN: 2070-1721

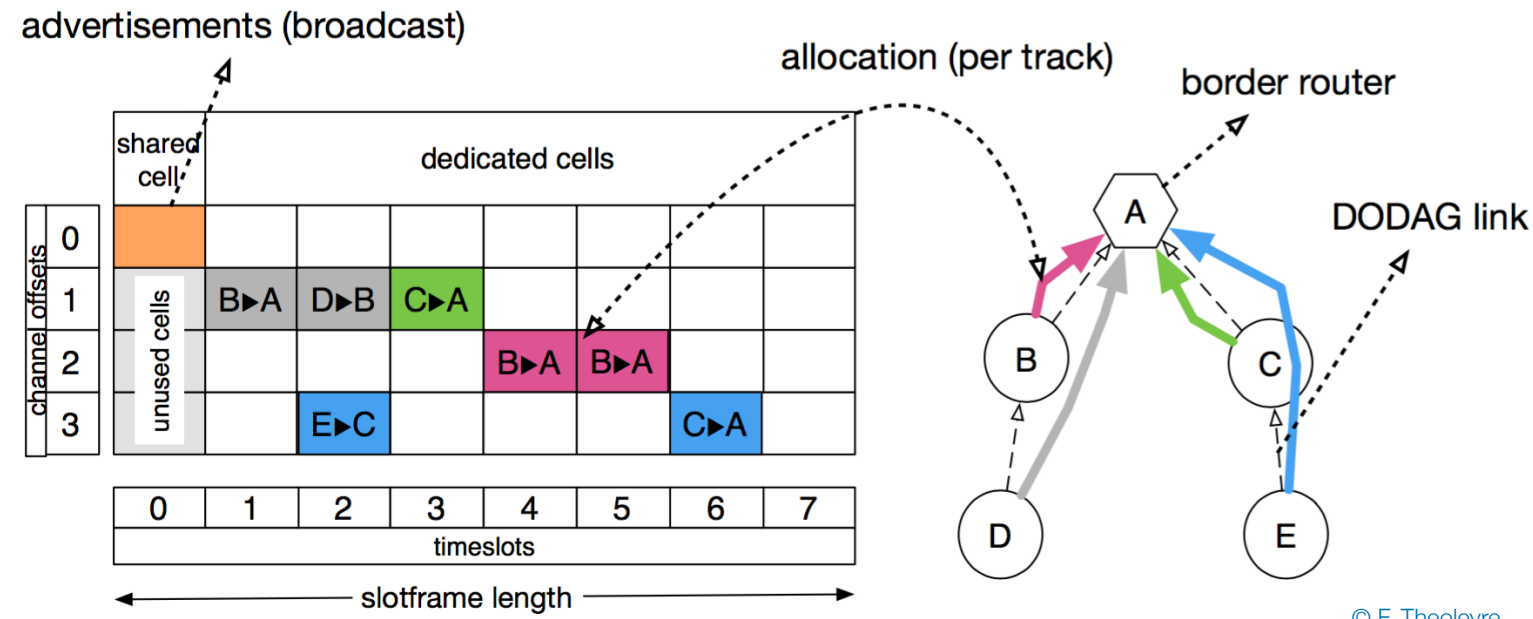
Q. Wang, Ed.
Univ. of Sci. and Tech. Beijing
X. Vilajosana
Universitat Oberta de Catalunya
T. Watteyne
Analog Devices
November 2018

6TiSCH Operation Sublayer (6top) Protocol (6P)

Abstract

This document defines the "IPv6 over the TSCH mode of IEEE 802.15.4e" (6TiSCH) Operation Sublayer (6top) Protocol (6P), which enables distributed scheduling in 6TiSCH networks. 6P allows neighbor nodes to add/delete Time-Slotted Channel Hopping (TSCH) cells to/on one another. 6P is part of the 6TiSCH Operation Sublayer (6top), the layer just above the IEEE Std 802.15.4 TSCH Medium Access Control layer. 6top is composed of one or more Scheduling Functions (SFs) and the 6top Protocol defined in this document. A 6top SF decides when to add/delete cells, and it triggers 6P Transactions. The definition of SFs is out of scope for this document; however, this document provides the requirements for an SF.

<https://datatracker.ietf.org/doc/rfc8480/>



© F. Theoleyre

Stabilité des réseaux 6tisch ?

- **Noeuds du couloir C (puits à l'extrême, 5 sauts max)**

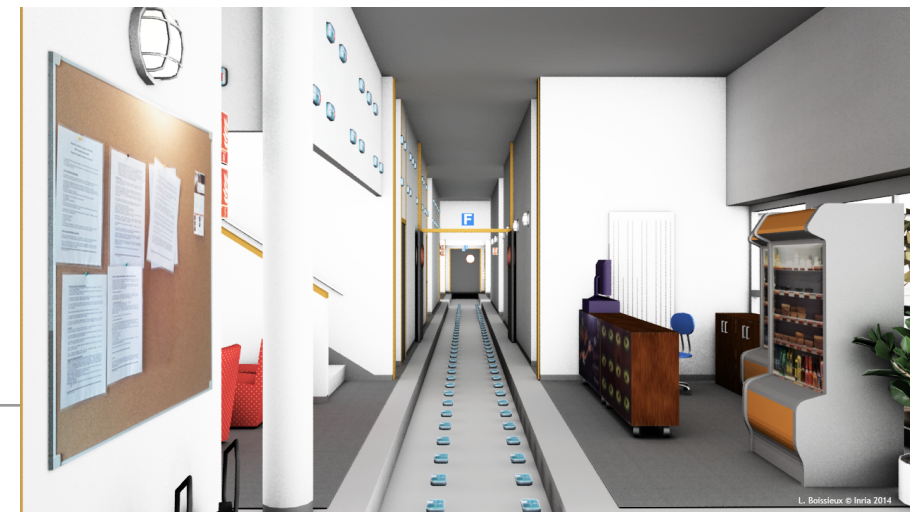
- Trafic *convergecast CBR* (1 paquet / 20s)
- Configuration OpenWSN par défaut

- **Journée de travail (8h) ?**

- **RPL : changements de parent**

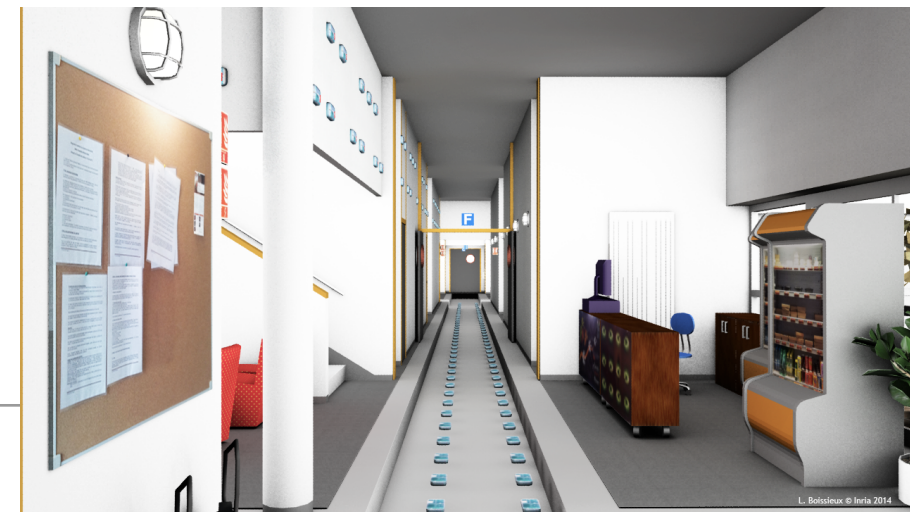
- **6TiSCH : requêtes 6P**

- **Taux de livraison ~50%**

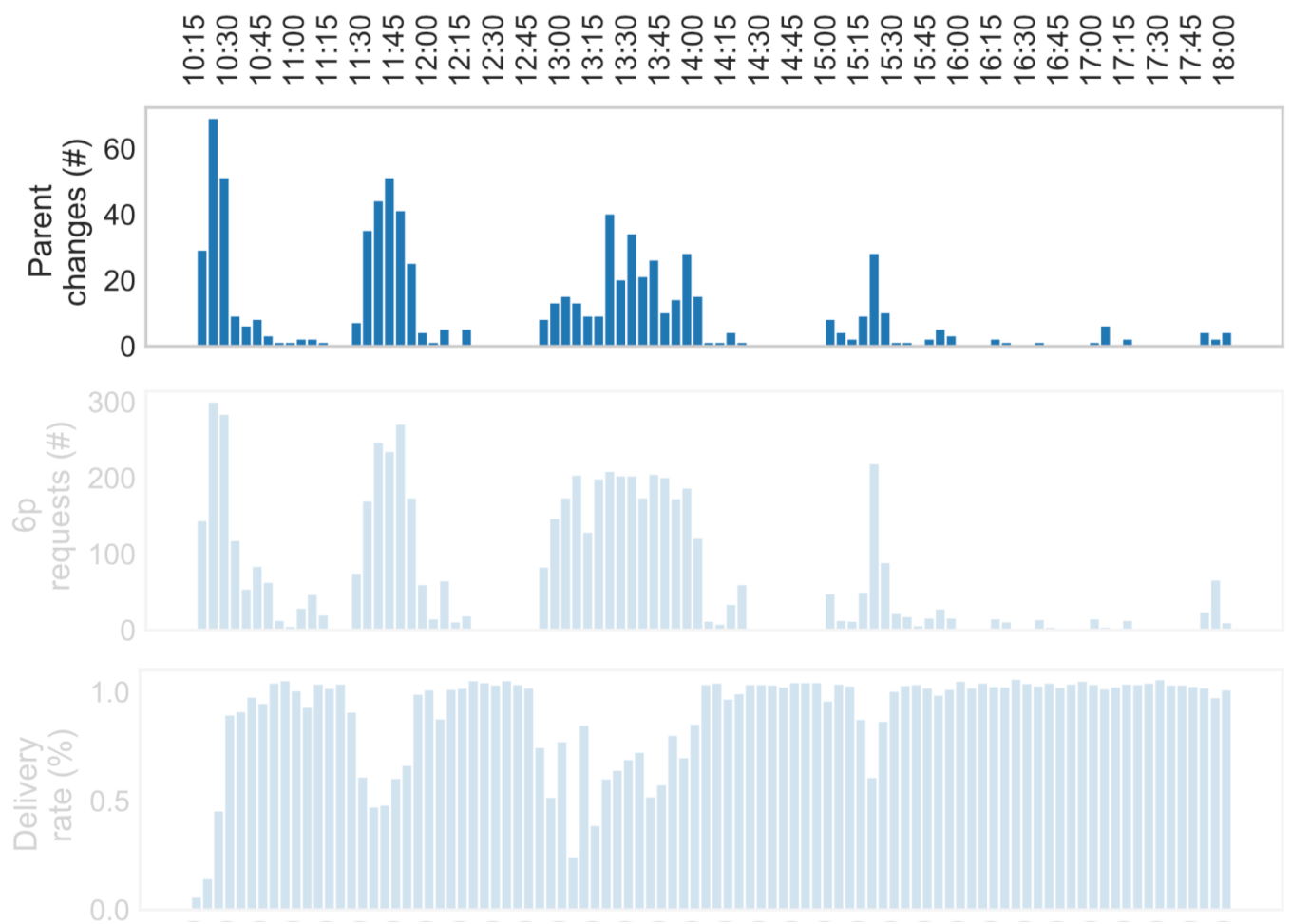


Stabilité des réseaux 6tisch ?

- Noeuds du couloir C (puits à l'extrême, 5 sauts max)
 - Trafic convergecast CBR (1 paquet / 20s)
 - Configuration OpenWSN par défaut
- Journée de travail (8h) ?
- RPL : changements de parent
- 6TiSCH : requêtes 6P
- Taux de livraison ~50%

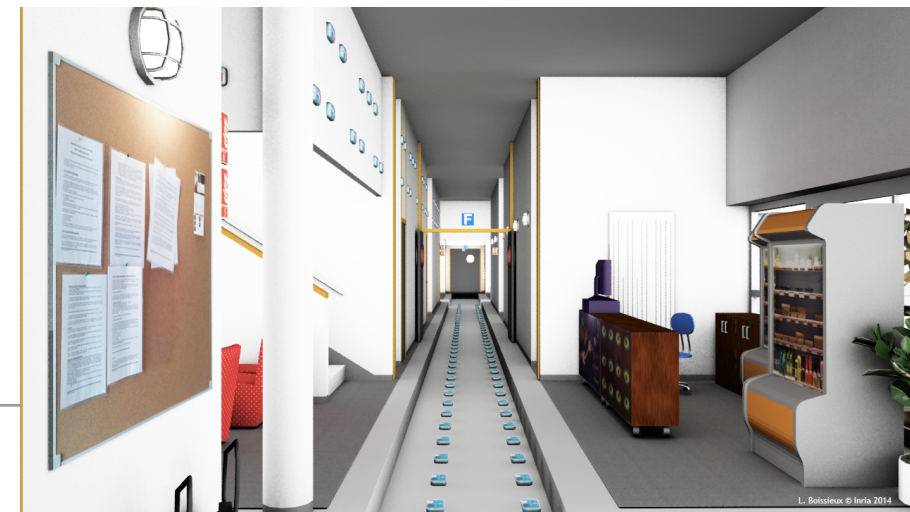


**FIT
IOT-LAB** Grenoble

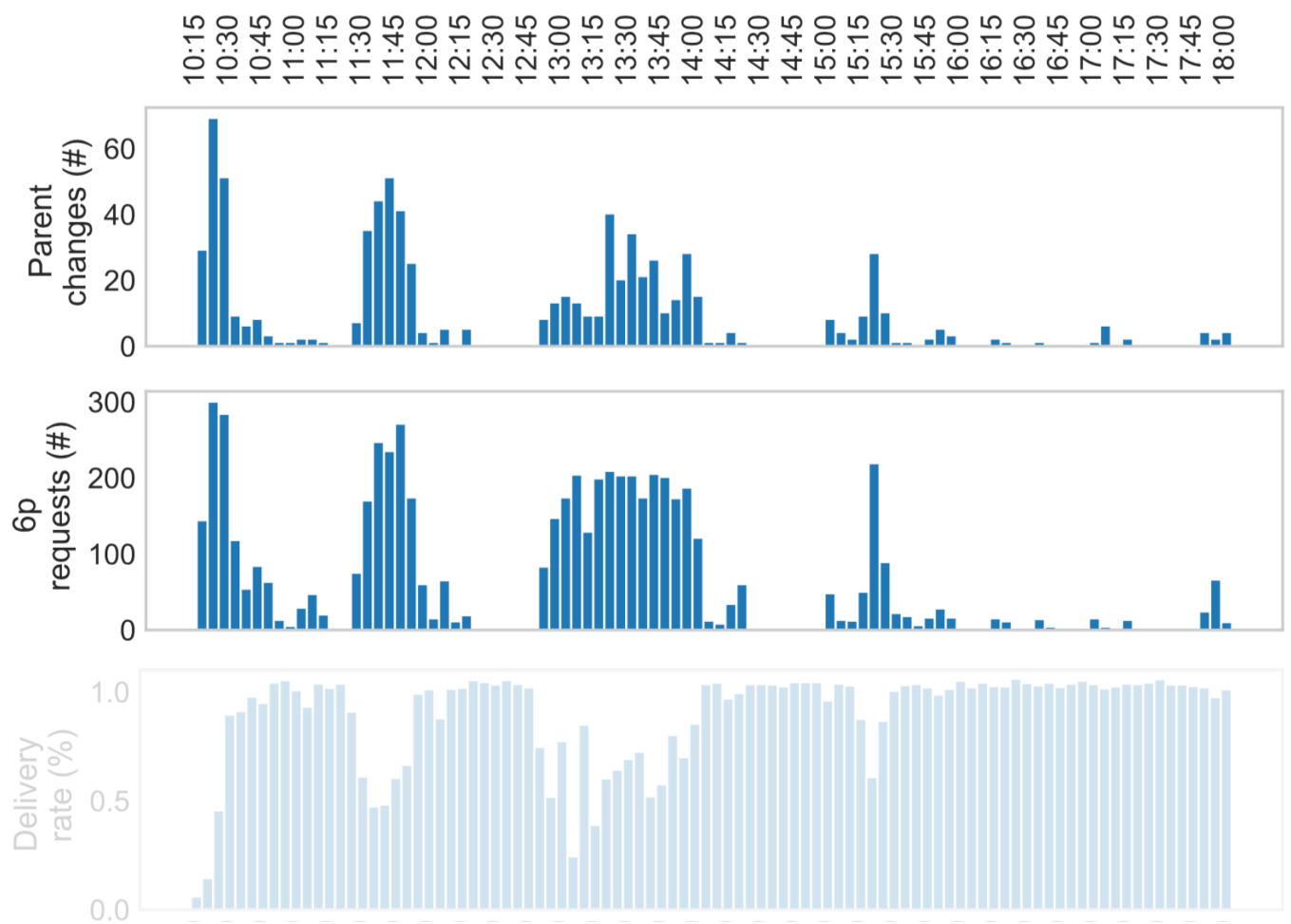


Stabilité des réseaux 6tisch ?

- Noeuds du couloir C (puits à l'extrême, 5 sauts max)
 - Trafic convergecast CBR (1 paquet / 20s)
 - Configuration OpenWSN par défaut
- Journée de travail (8h) ?
- RPL : changements de parent
- 6TiSCH : requêtes 6P
- Taux de livraison ~50%

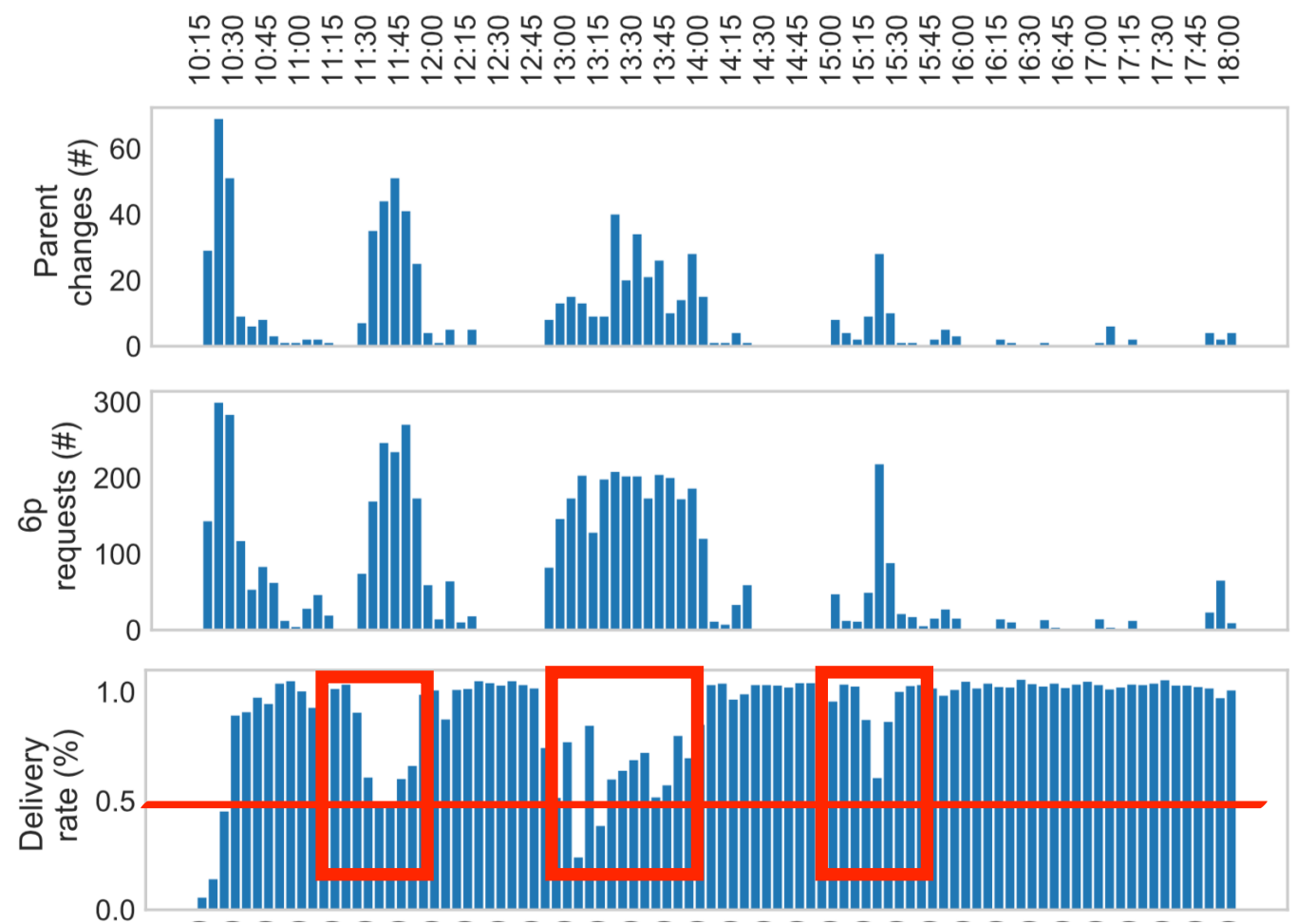
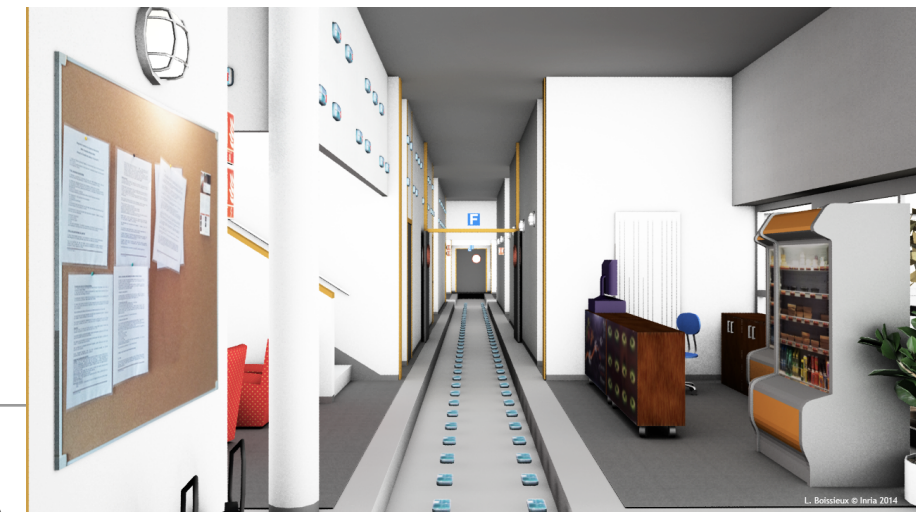


**FIT
IOT-LAB** Grenoble

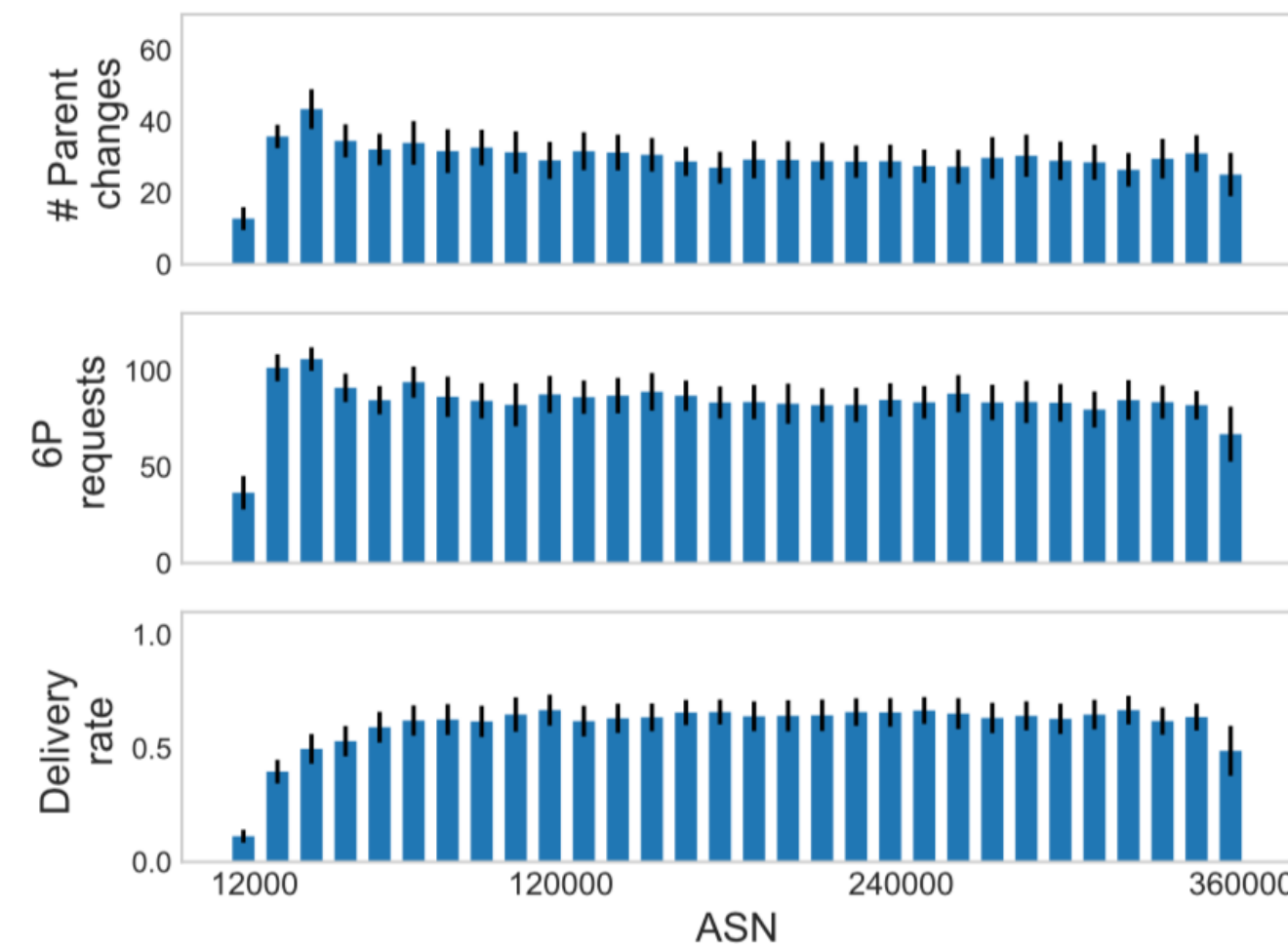
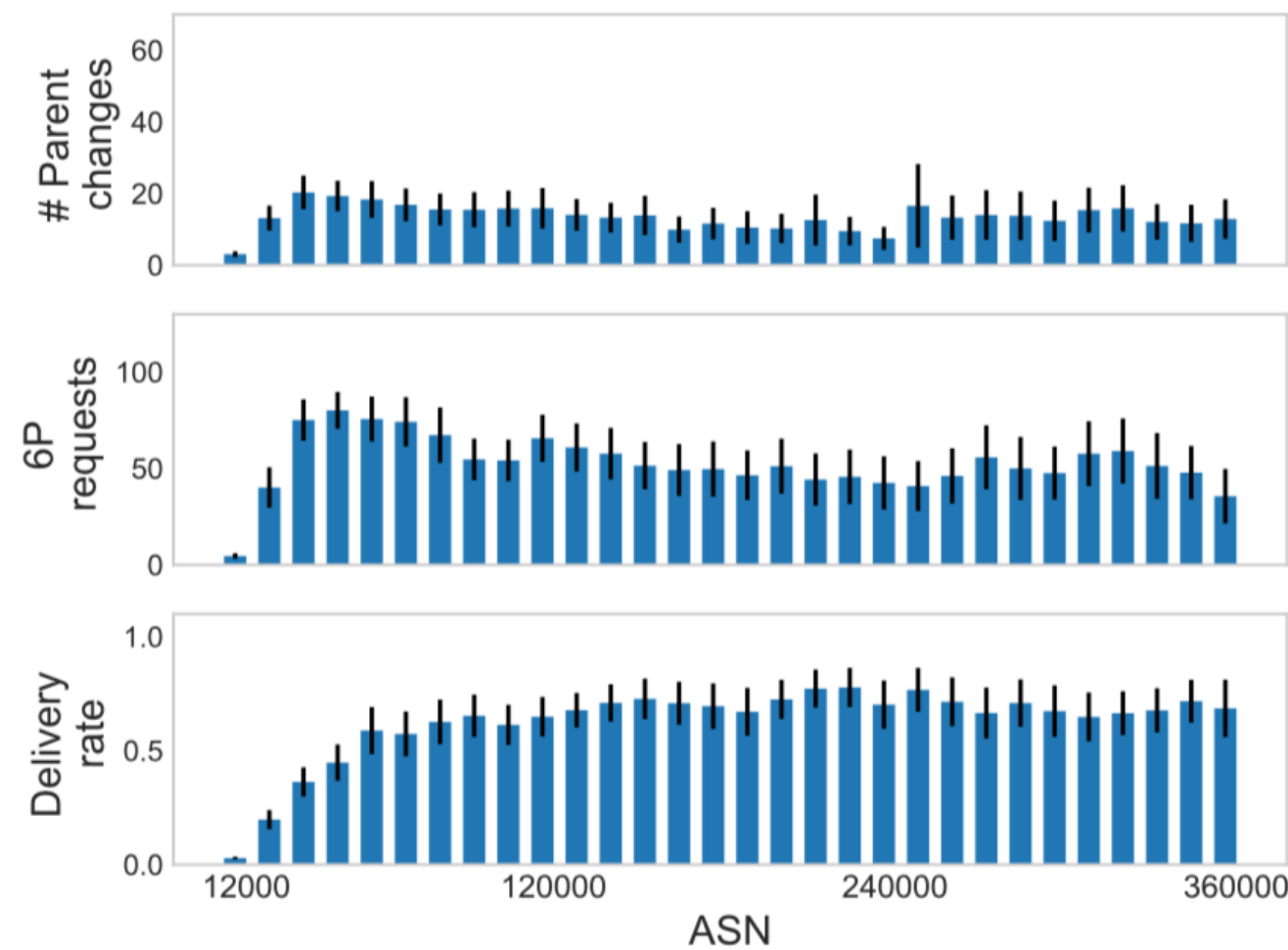
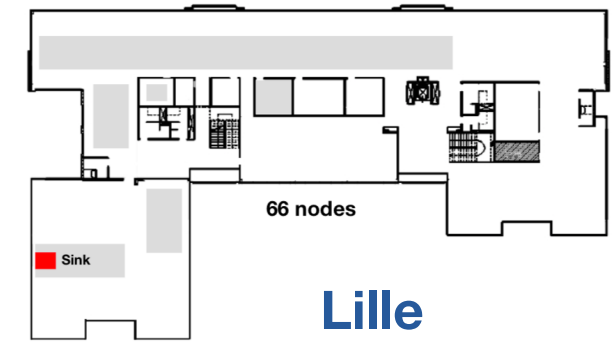
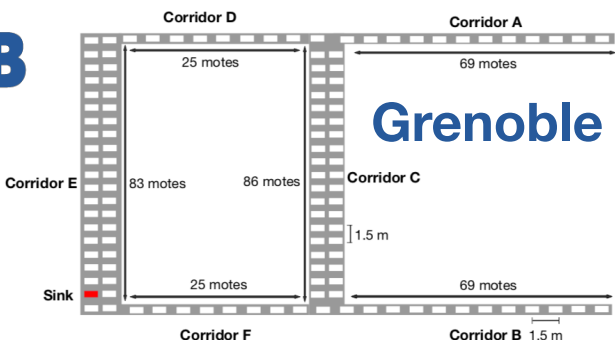


Stabilité des réseaux 6tisch ?

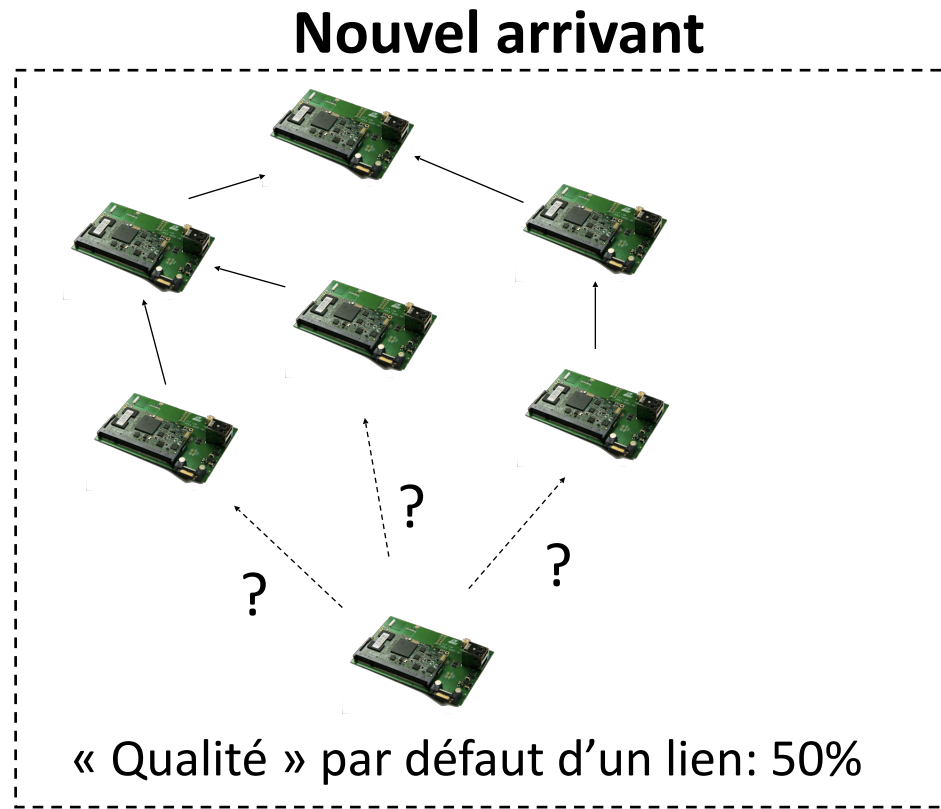
- Noeuds du couloir C (puits à l'extrême, 5 sauts max)
 - Trafic convergecast CBR (1 paquet / 20s)
 - Configuration OpenWSN par défaut
- Journée de travail (8h) ?
- RPL : changements de parent
- 6TiSCH : requêtes 6P
- Taux de livraison ~50%



Non spécifique à Grenoble

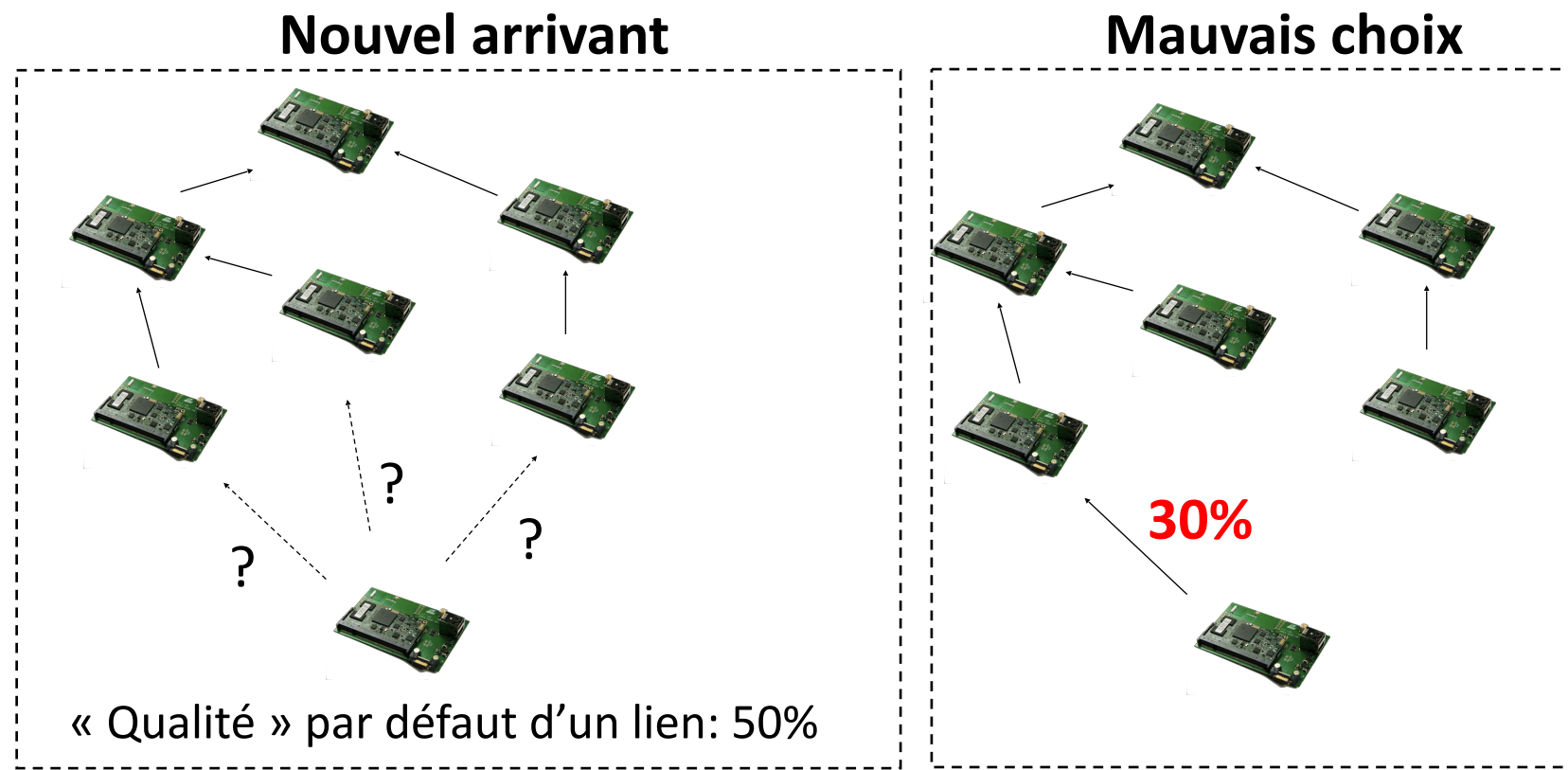


Principale cause d'instabilité : la sélection aveugle de parent



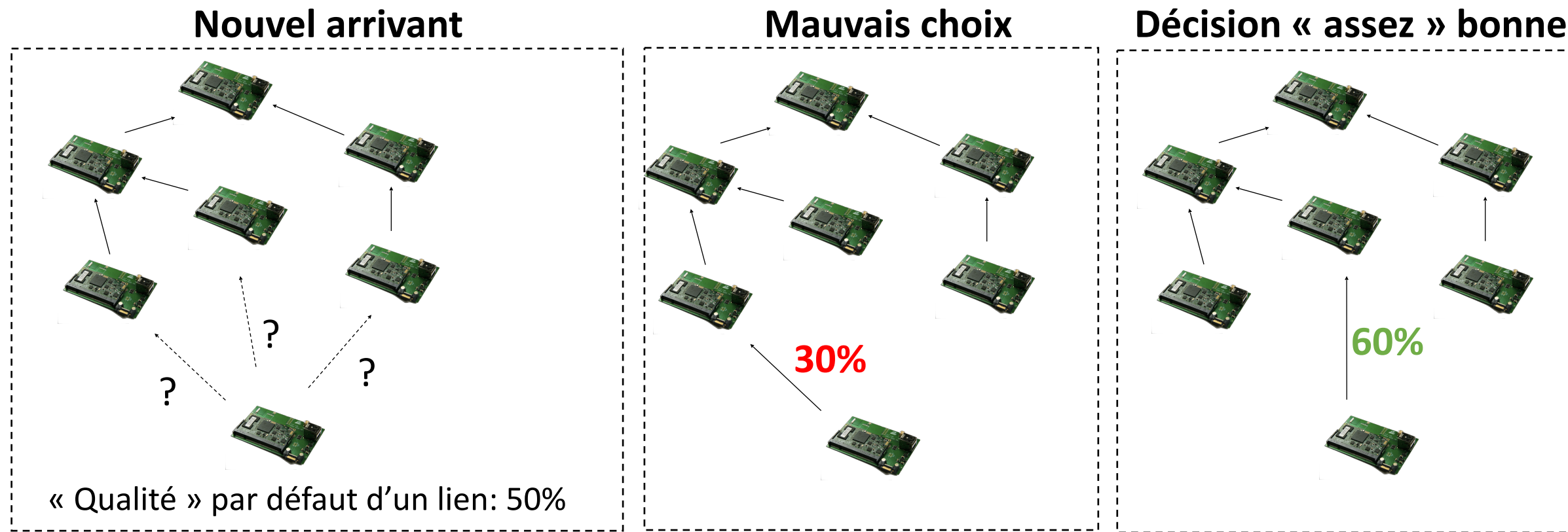
- Objectif = anticiper la qualité de lien avant de choisir son parent et de négocier les cellules
 - Sondes actives ?
 - Coûteuses, bruyantes...
 - Estimation passive ?

Principale cause d'instabilité : la sélection aveugle de parent



- Objectif = anticiper la qualité de lien avant de choisir son parent et de négocier les cellules
 - Sondes actives ?
 - Coûteuses, bruyantes...
 - Estimation passive ?

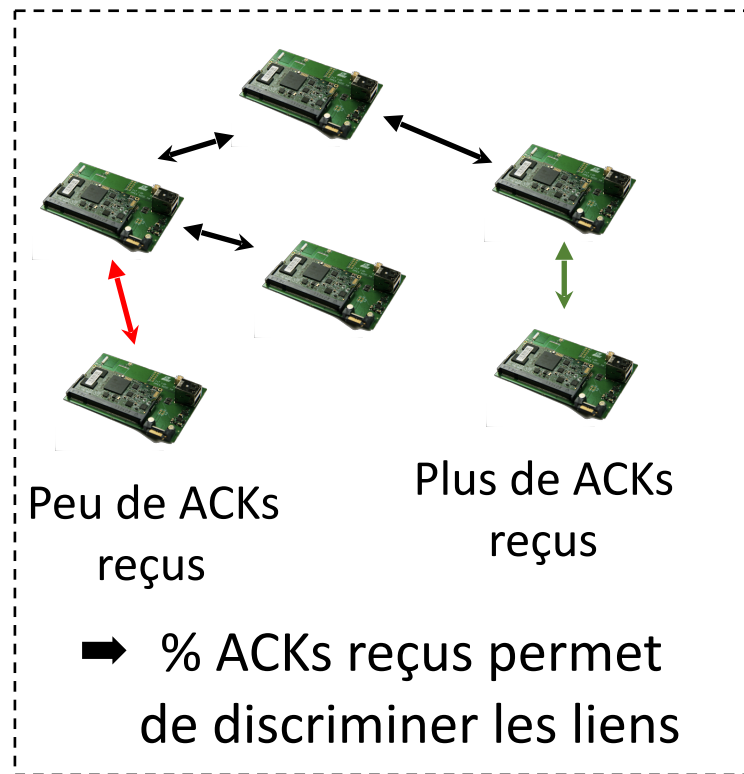
Principale cause d'instabilité : la sélection aveugle de parent



- Objectif = anticiper la qualité de lien avant de choisir son parent et de négocier les cellules
 - Sondes actives ?
 - Coûteuses, bruyantes...
 - Estimation passive ?

Estimation passive de la qualité de lien

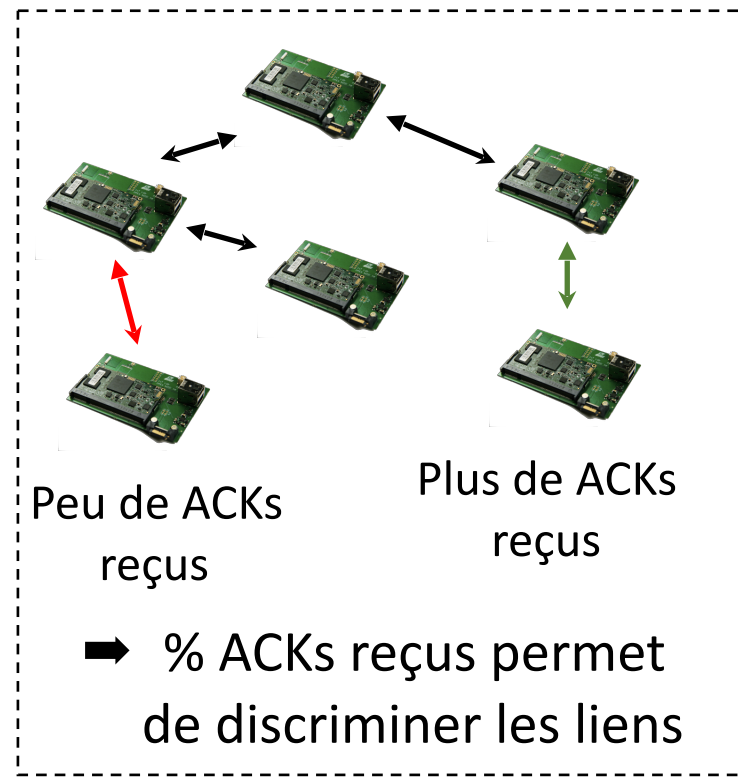
Plus de ACKs → meilleur lien



- Possible iff trafic vers prochains sauts
- i.e., cellules déjà allouées...

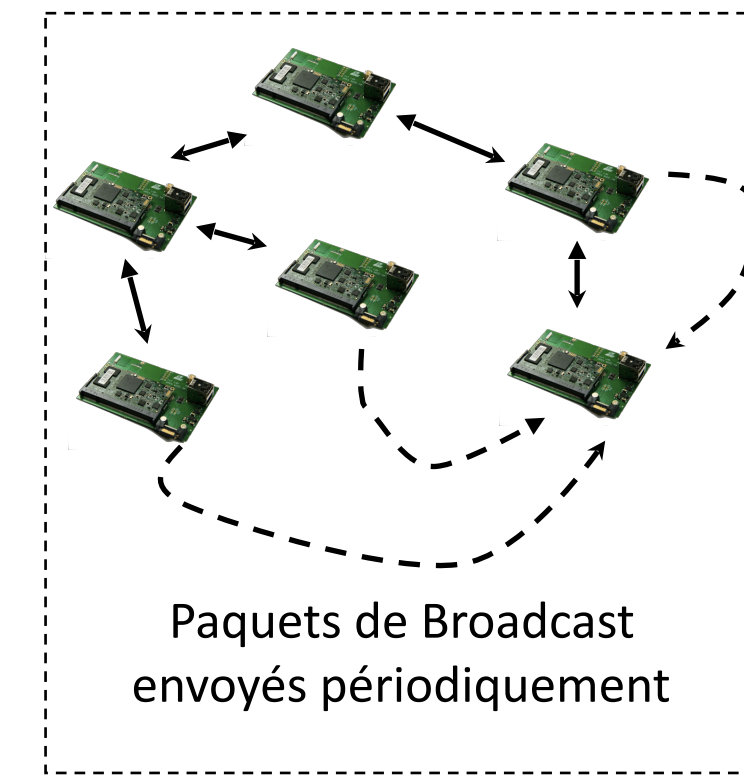
Estimation passive de la qualité de lien

Plus de ACKs → meilleur lien



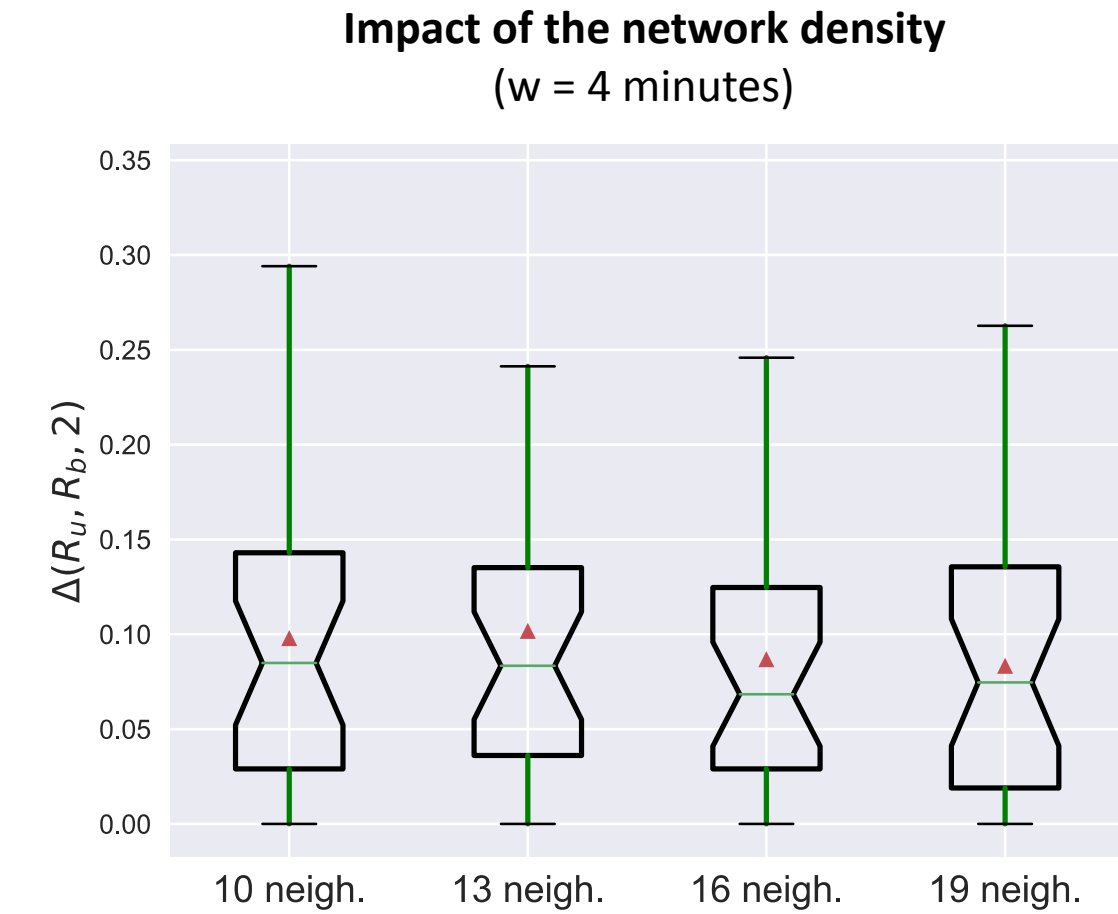
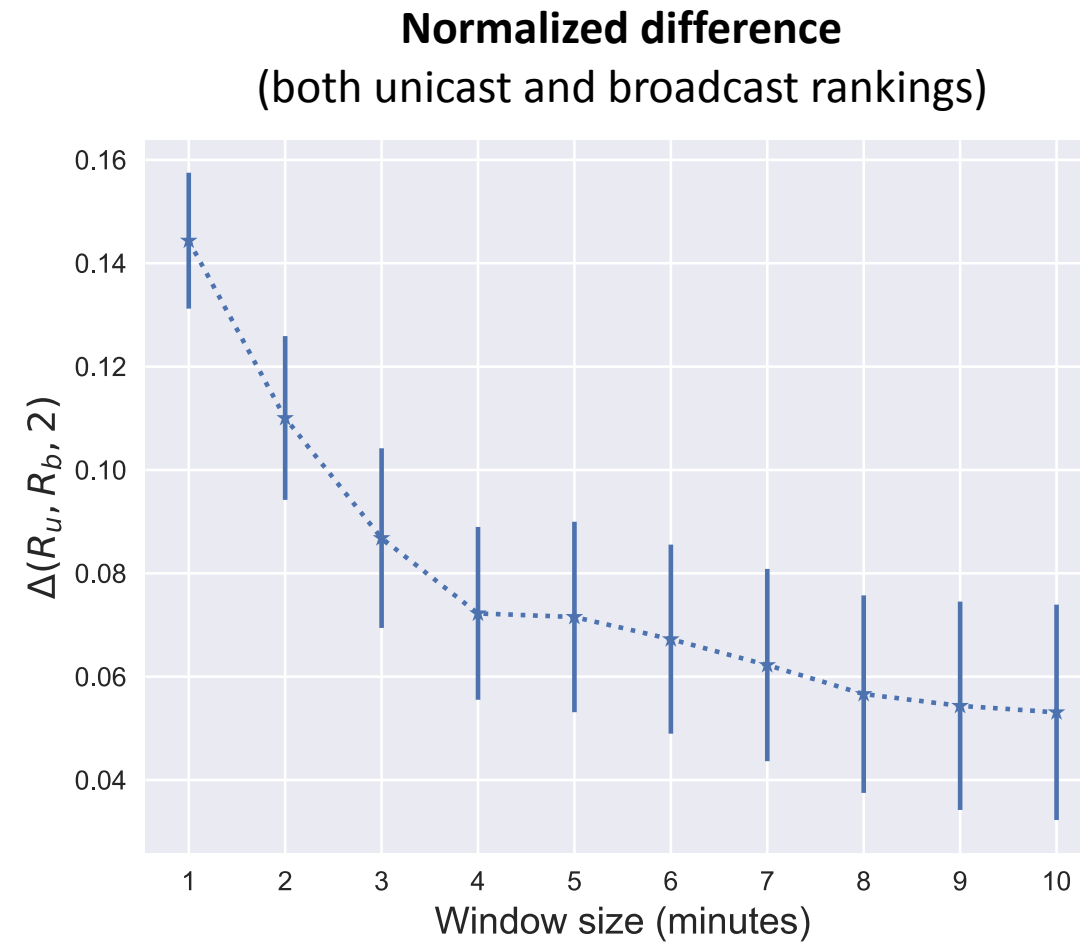
- Possible iff trafic vers prochains sauts
- i.e., cellules déjà allouées...

~~Plus de ACKs~~ Meilleur PDR_{broadcast} → meilleur lien



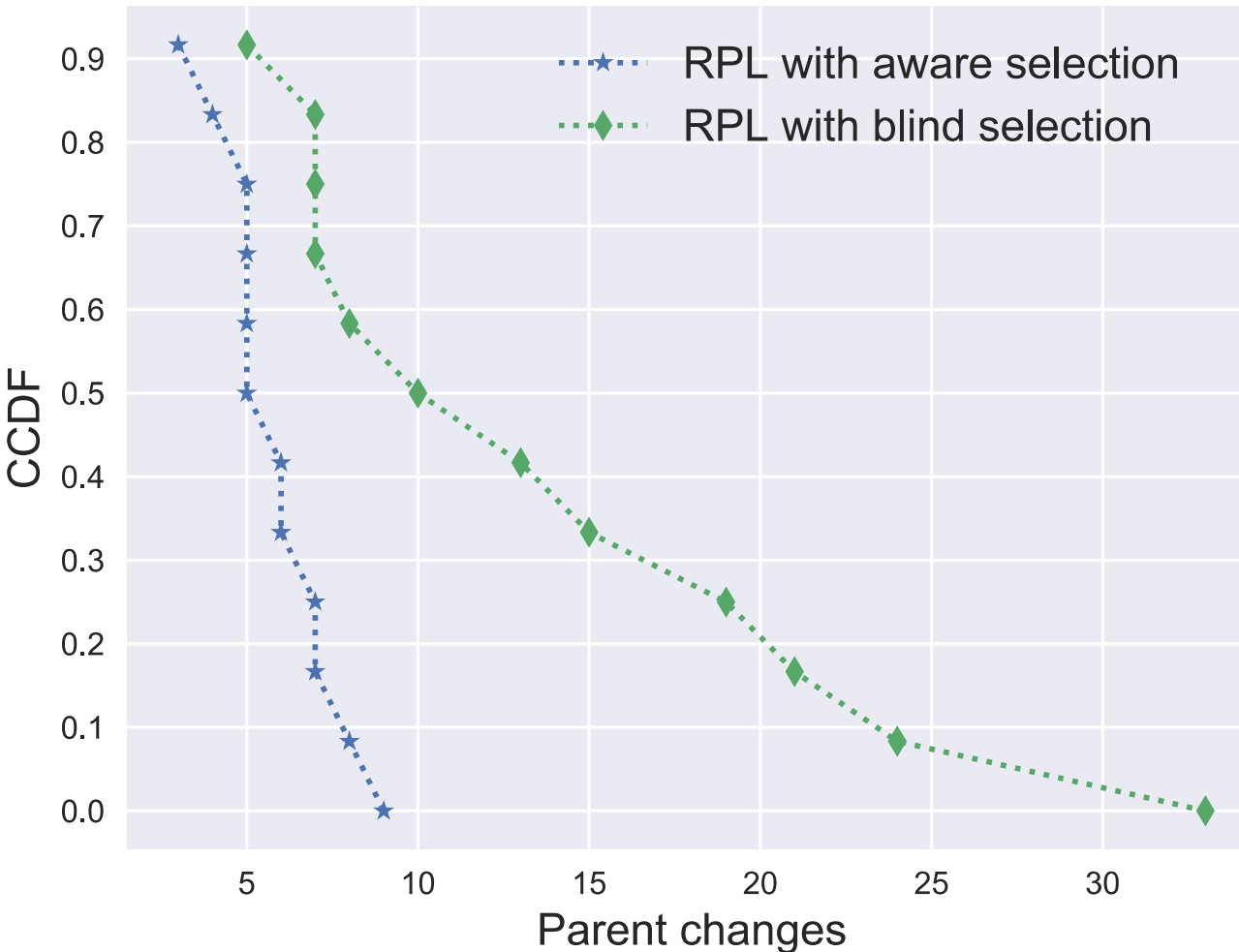
- Estimation passive possible/fiable ?

Différences de classement



Intégration à 6TiSCH

- 13 noeuds du même couloir de FIT/IoT-LAB Grenoble



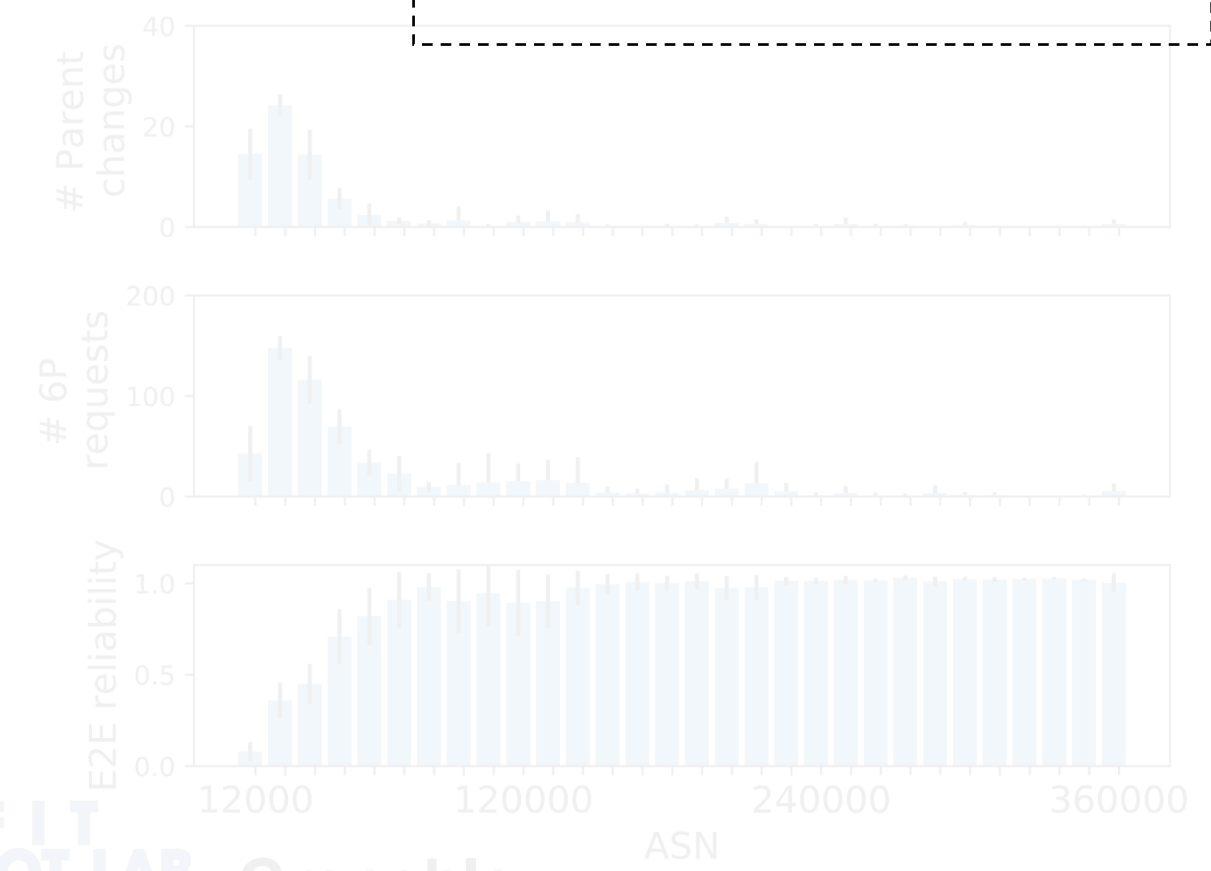
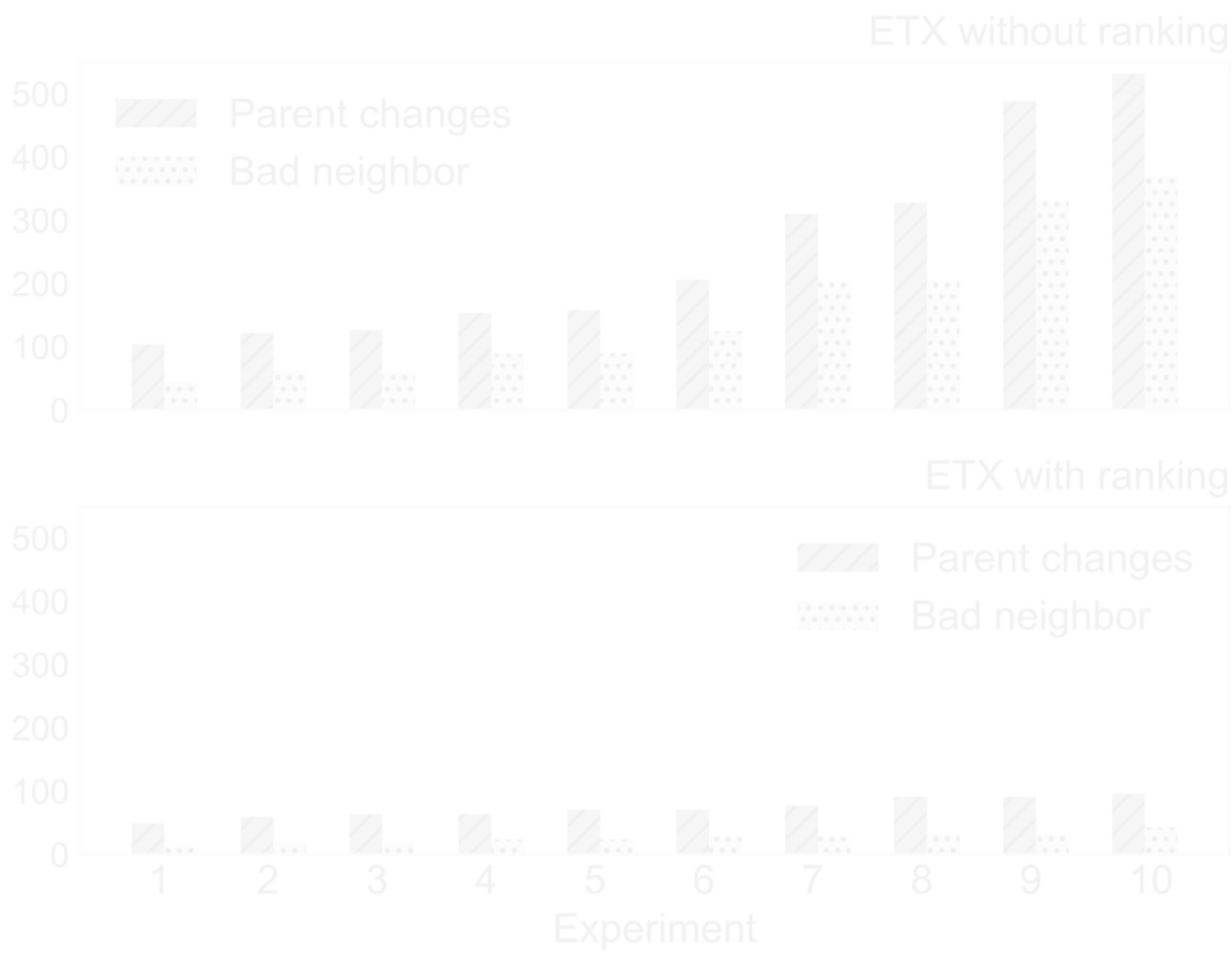
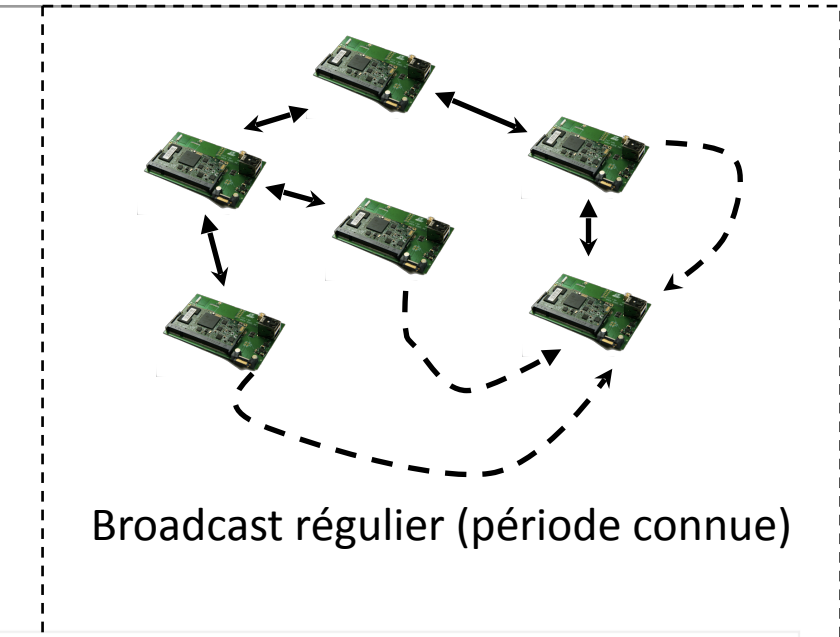
Default ETX 2 (50% of error rate)

$$\text{Blind selection} \rightarrow rank(i,j) = rank(j) + \left(\left(3 * \left[\frac{tx}{ack} \right] \right) - 2 \right) * 256$$

$$\text{Aware selection} \rightarrow rank(i,j) = rank(j) + \left(\left(3 * \left[\frac{\text{expected packets by } i}{DIO(j)+EB(j)} \right] \right) - 2 \right) * 256$$

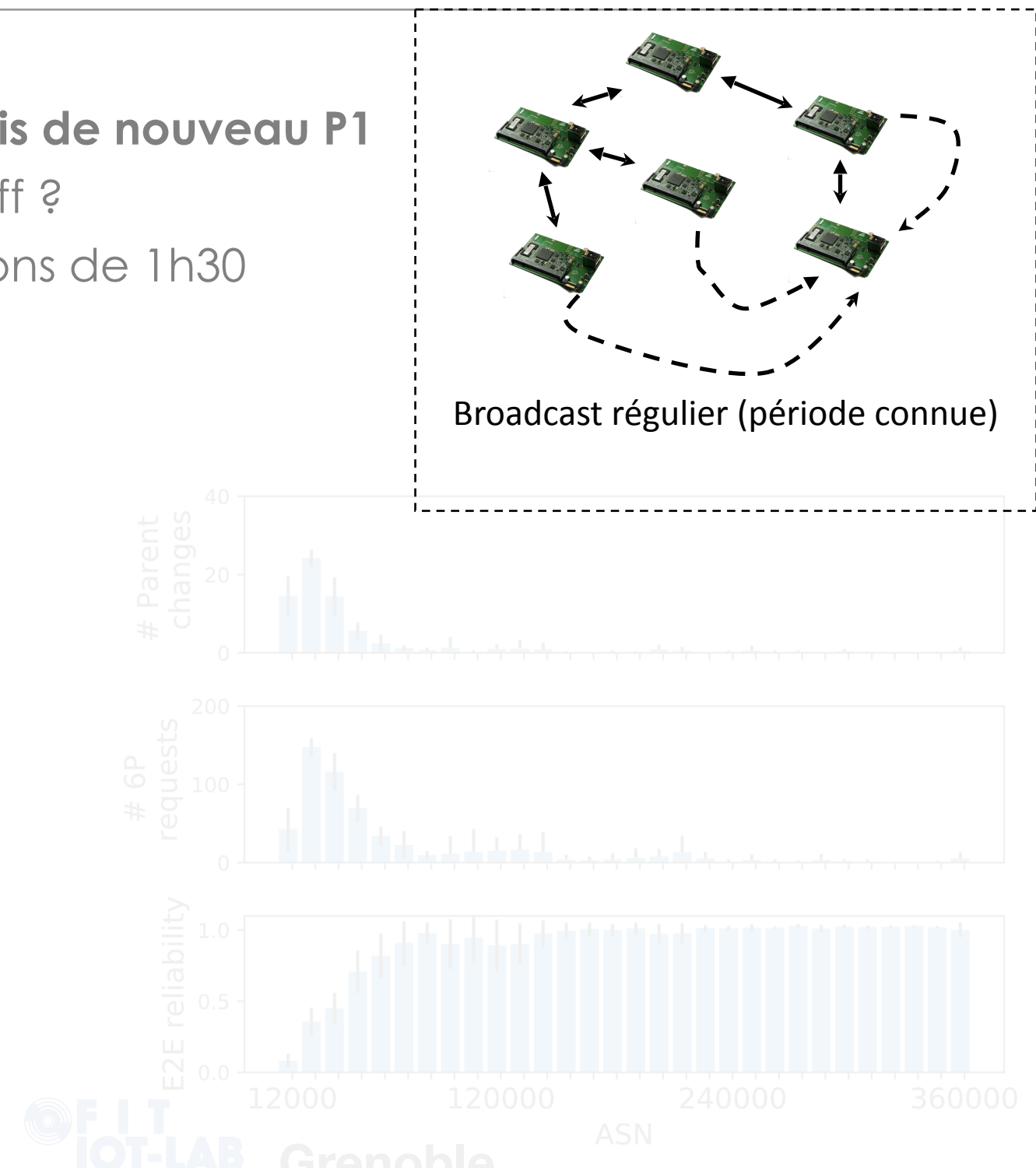
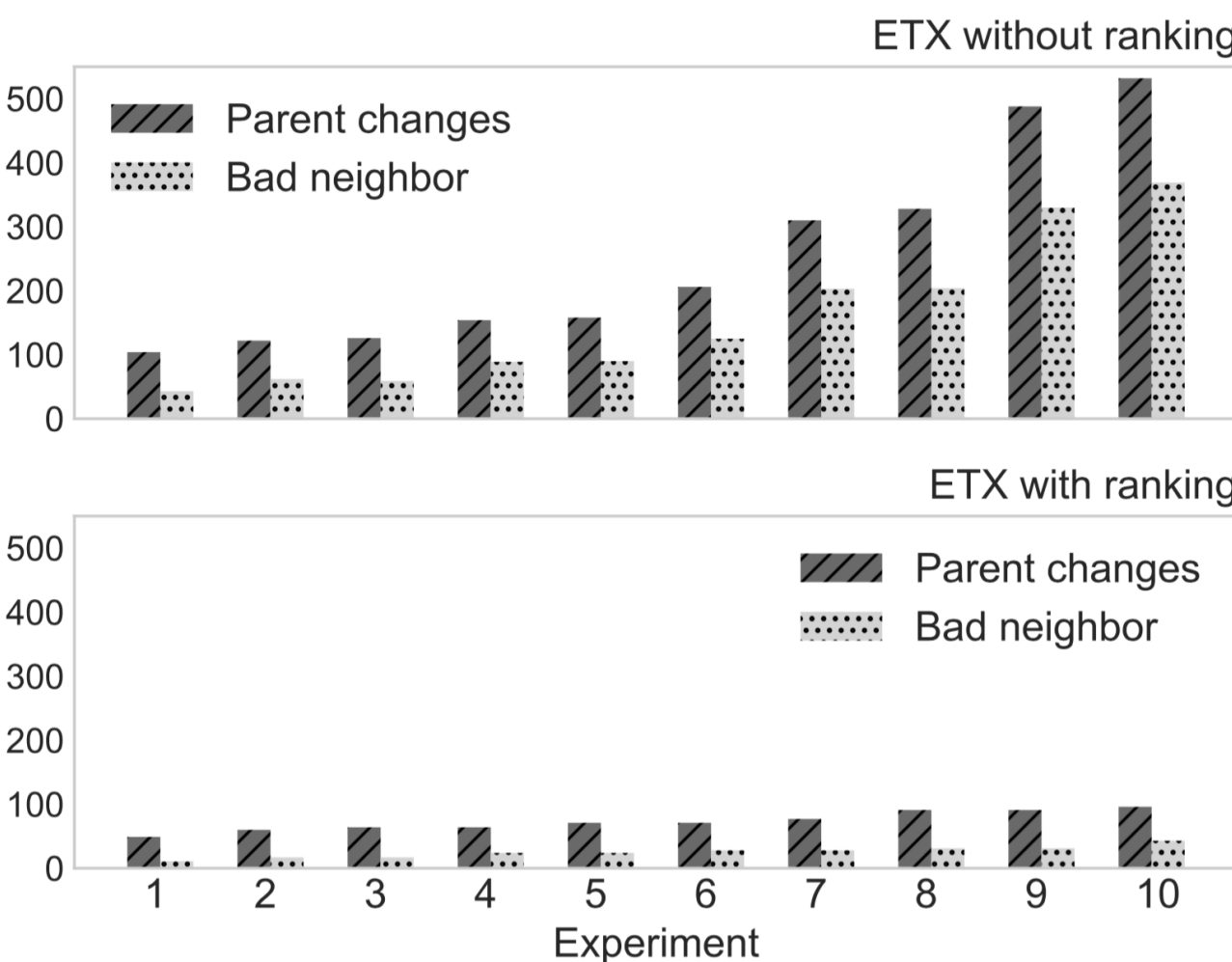
Principale cause d'instabilité : la sélection aveugle de parent

- Changer d'un parent P1 à un parent P2 puis de nouveau P1
 - Compromis stabilité / réactivité tradeoff ?
- 31 noeuds (jusqu'à 7 sauts), 10 répétitions de 1h30



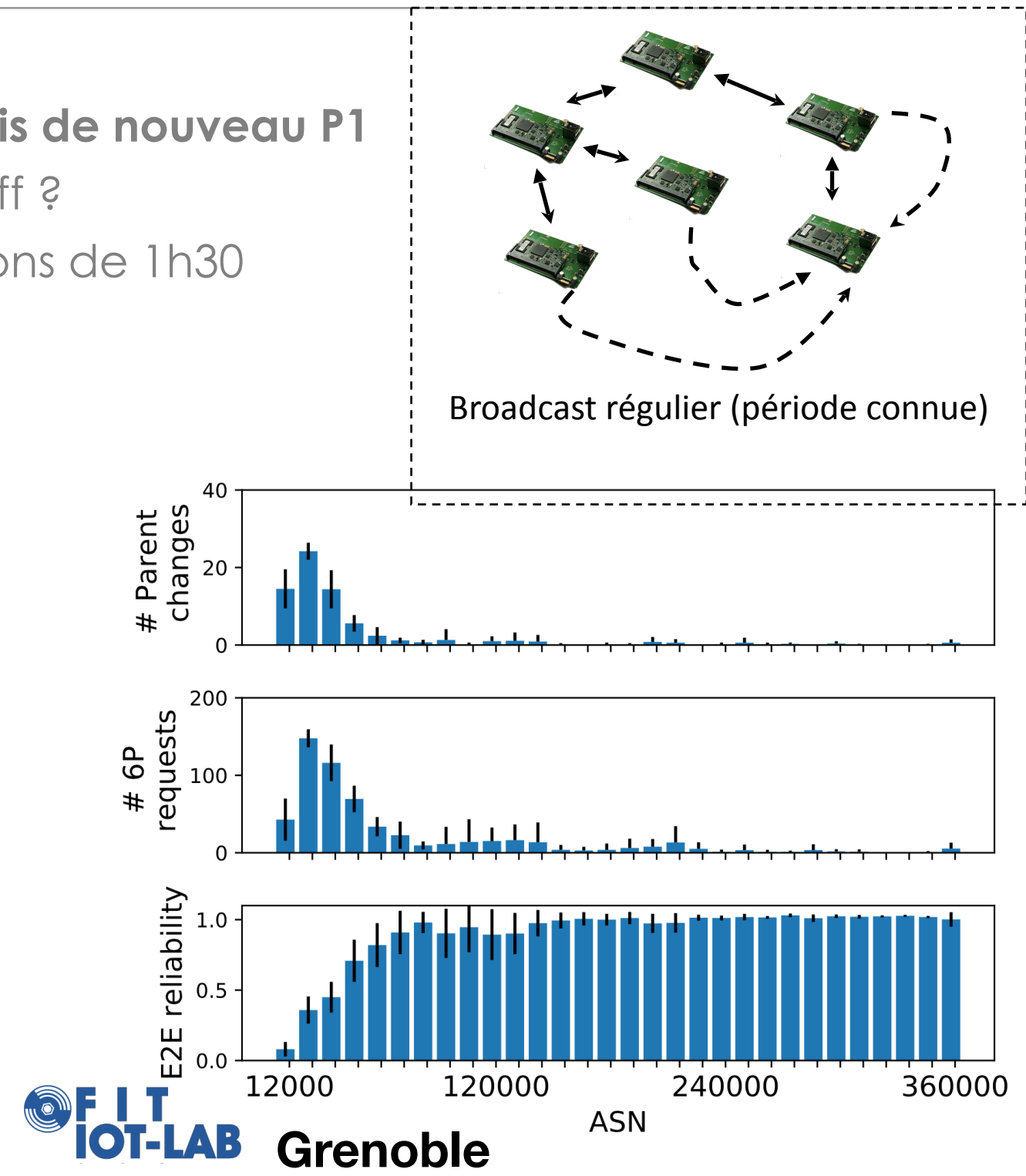
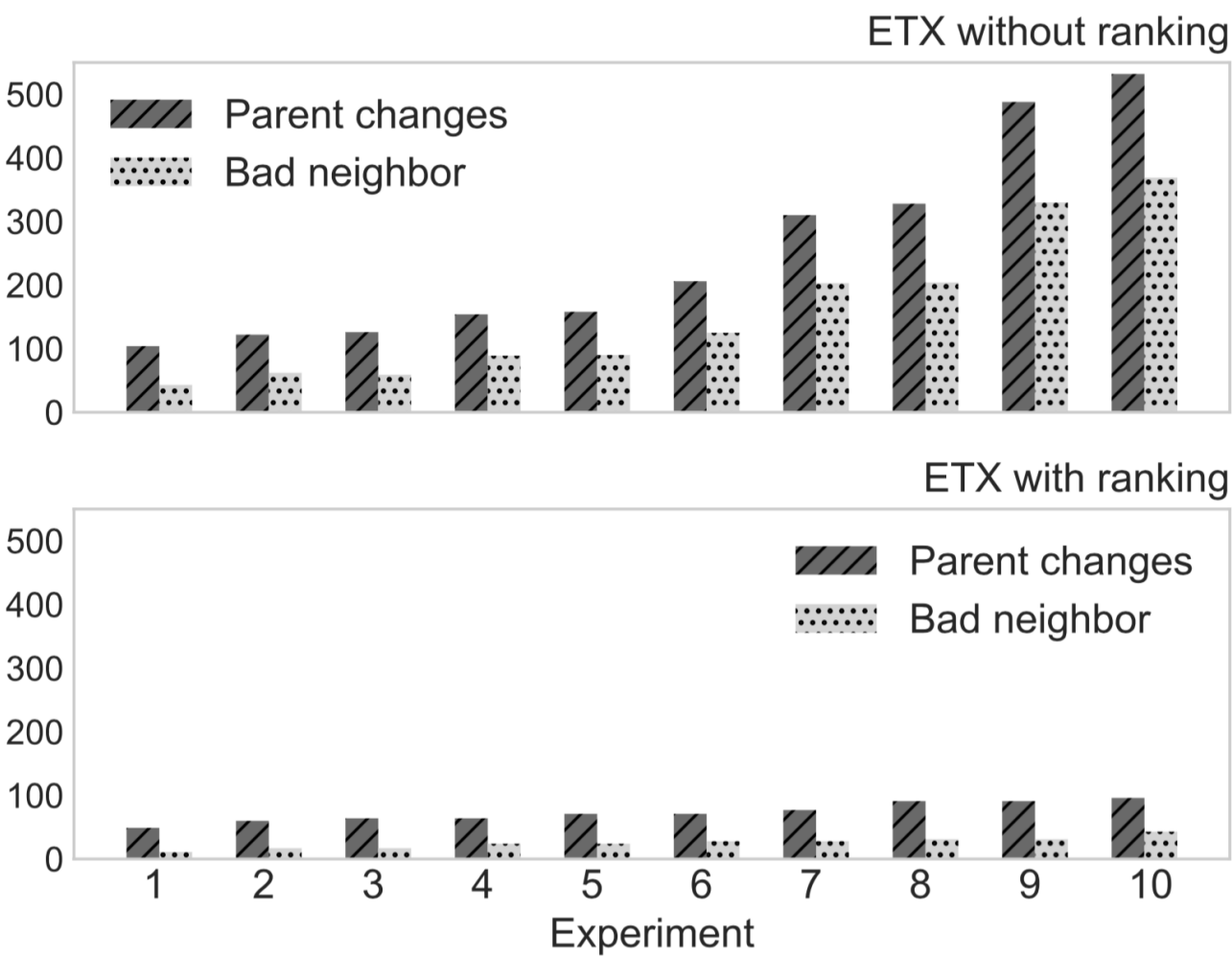
Principale cause d'instabilité : la sélection aveugle de parent

- Changer d'un parent P1 à un parent P2 puis de nouveau P1
 - Compromis stabilité / réactivité tradeoff ?
- 31 noeuds (jusqu'à 7 sauts), 10 répétitions de 1h30

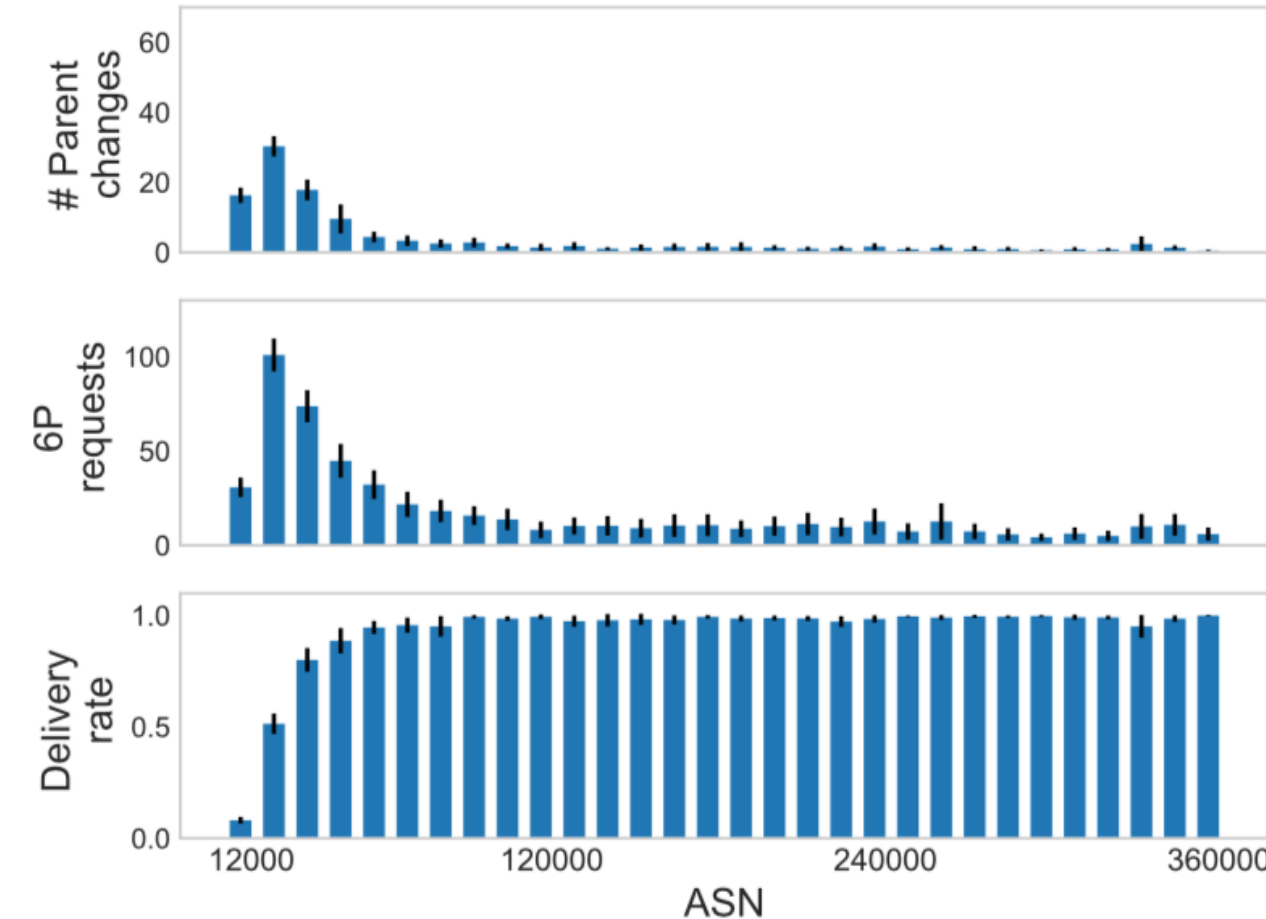
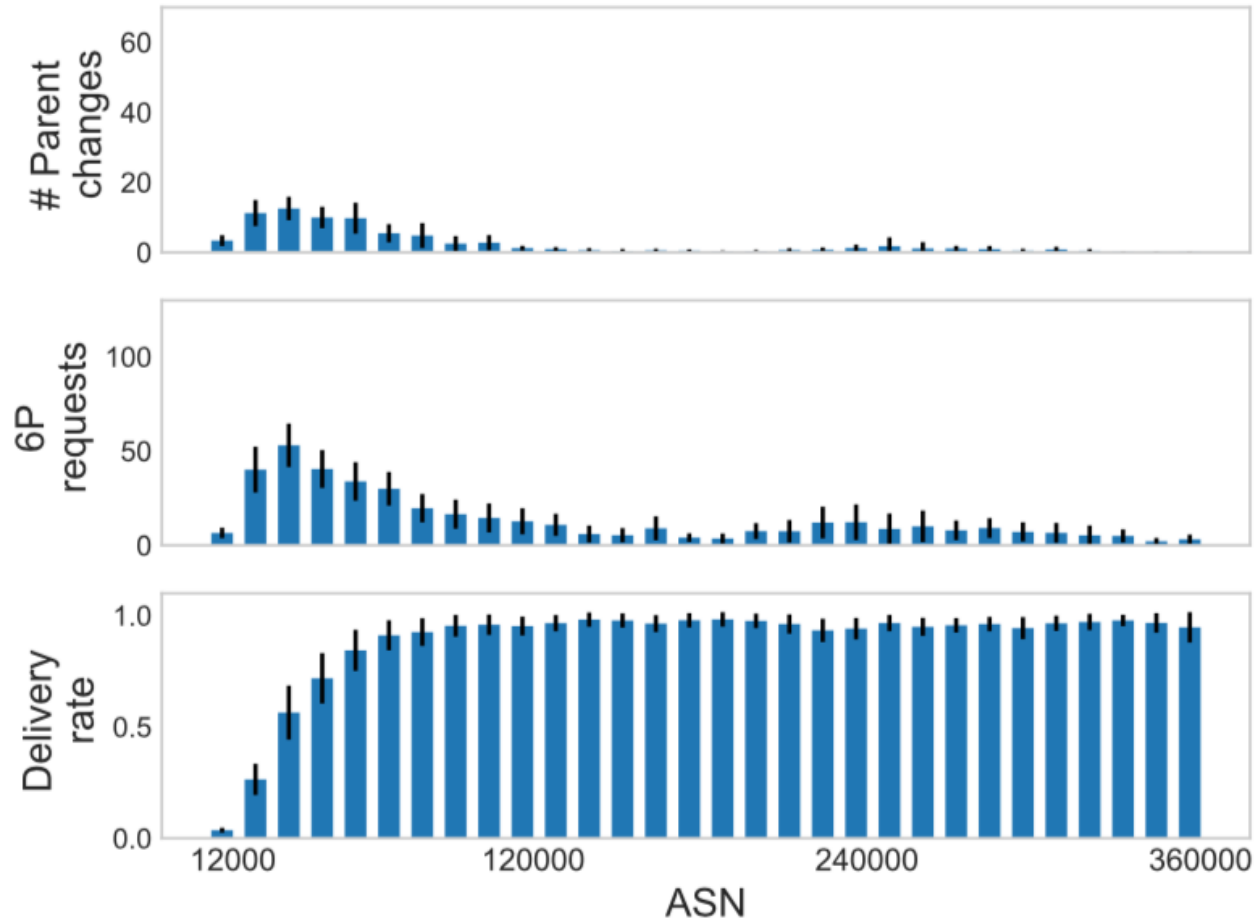
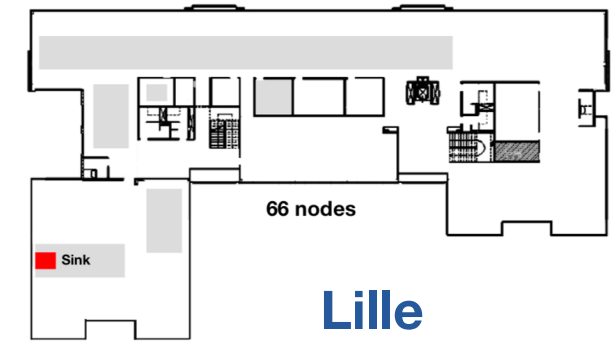
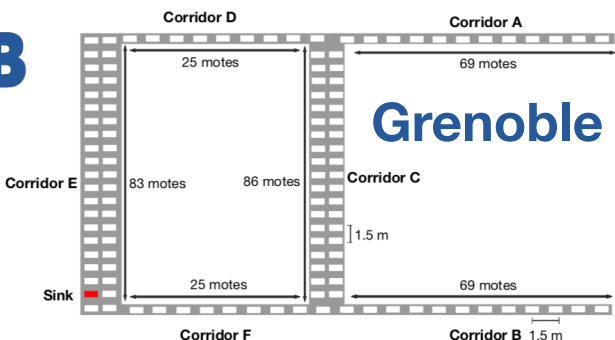


Principale cause d'instabilité : la sélection aveugle de parent

- Changer d'un parent P1 à un parent P2 puis de nouveau P1
 - Compromis stabilité / réactivité tradeoff ?
- 31 noeuds (jusqu'à 7 sauts), 10 répétitions de 1h30



Pas spécifique



Sécurité

Applications critiques



Bâtiment intelligent

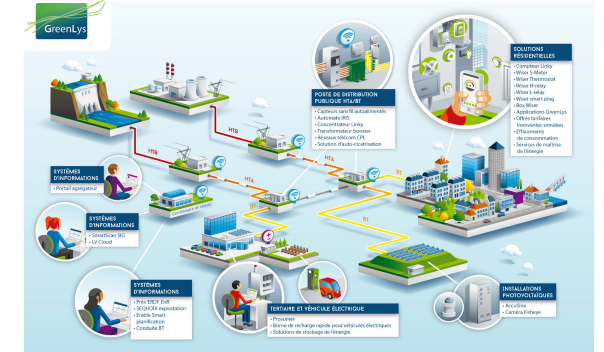


Aide à la conduite,
véhicule autonome

Usine du futur



Réseau électrique intelligent



Alarmes incendie,
assistance à distance

Maintenance prédictive,
sécurité des personnes

Alimentation
domicile/véhicule

- Applications critiques reposant sur les objets connectés

- ➡ Détection d'attaques
- ➡ Résilience (i.e., disponibilité des réseaux et des données)
- ➡ Sécurité des communications et protection de la vie privée



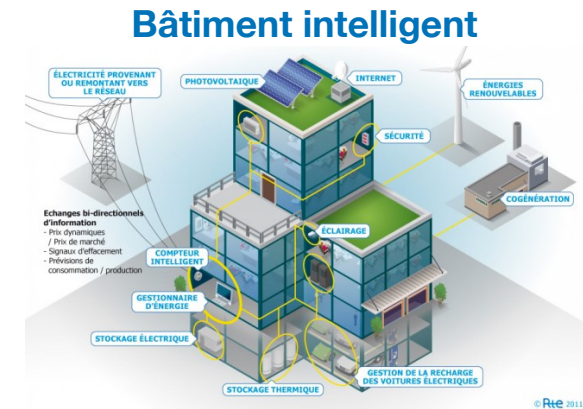
WirelessHART



Applications critiques



**Aide à la conduite,
véhicule autonome**



**Alarmes incendie,
assistance à distance**



**Maintenance prédictive,
sécurité des personnes**



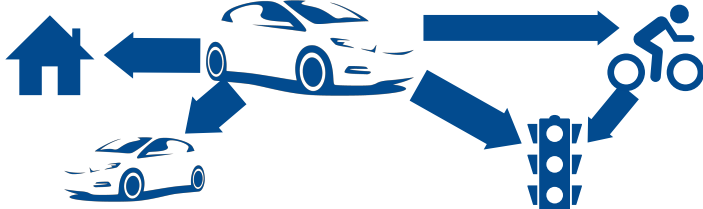
**Alimentation
domicile/véhicule**

- **Applications critiques reposant sur les objets connectés**

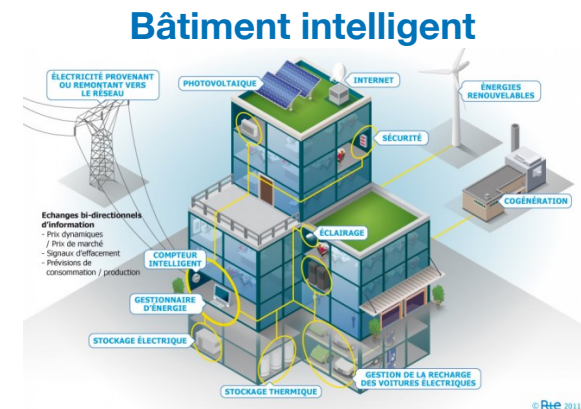
- Détection d'attaques
- Résilience (i.e., disponibilité des réseaux et des données)
- Sécurité des communications et protection de la vie privée



Applications critiques



Aide à la conduite,
véhicule autonome



Alarmes incendie,
assistance à distance



Maintenance prédictive,
sécurité des personnes



Alimentation
domicile/véhicule

- Applications critiques reposant sur les objets connectés

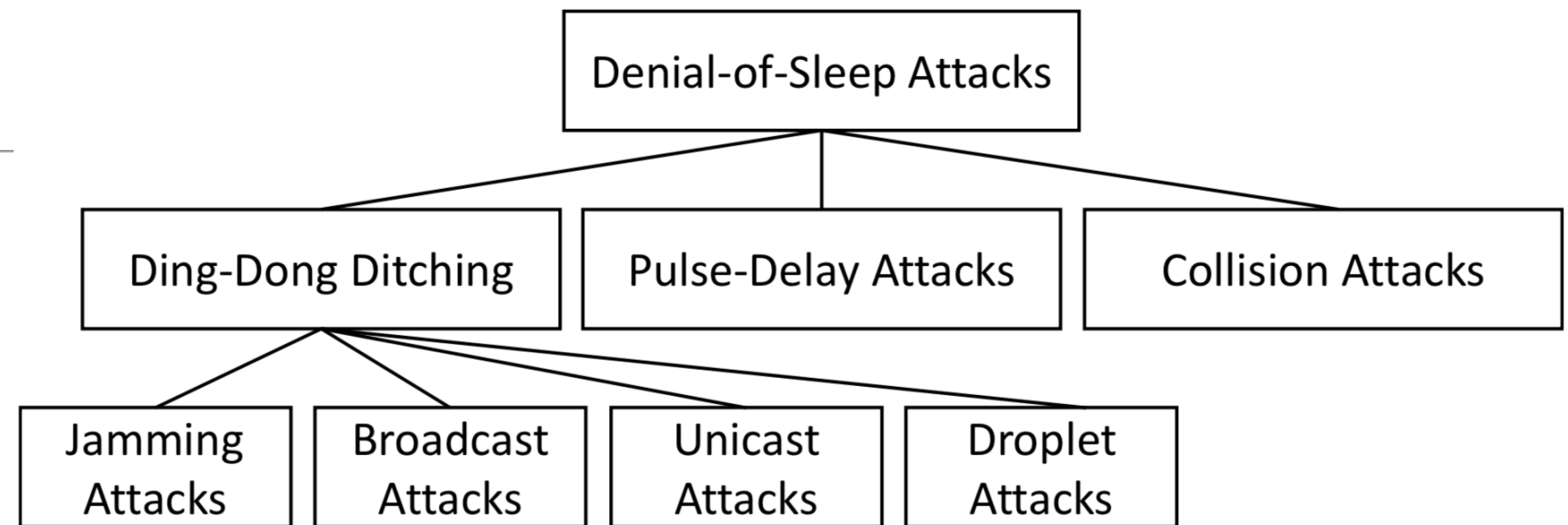
- Détection d'attaques
- Résilience (i.e., disponibilité des réseaux et des données)
- Sécurité des communications et protection de la vie privée



Déni de sommeil

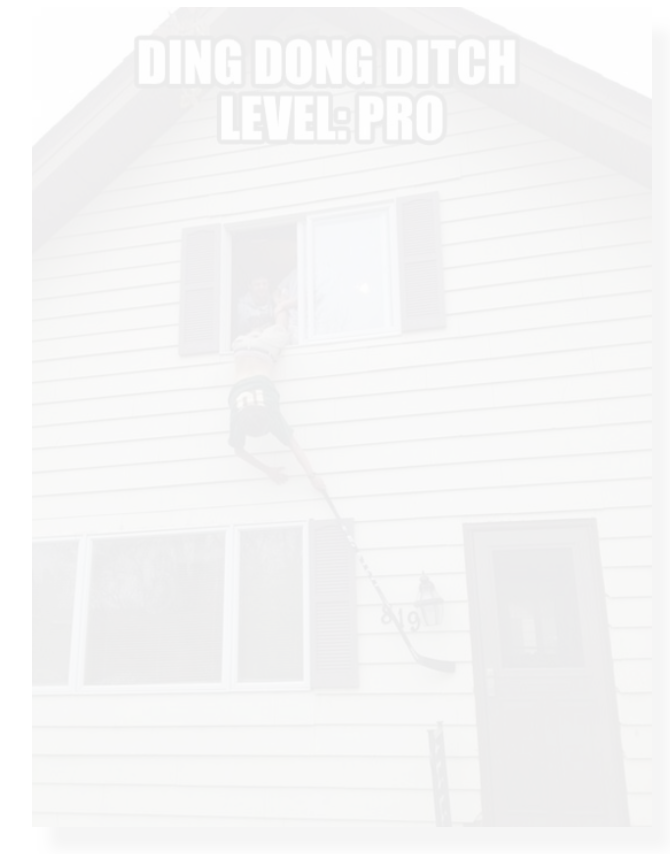
- **Objectif**

- Epuiser les objets



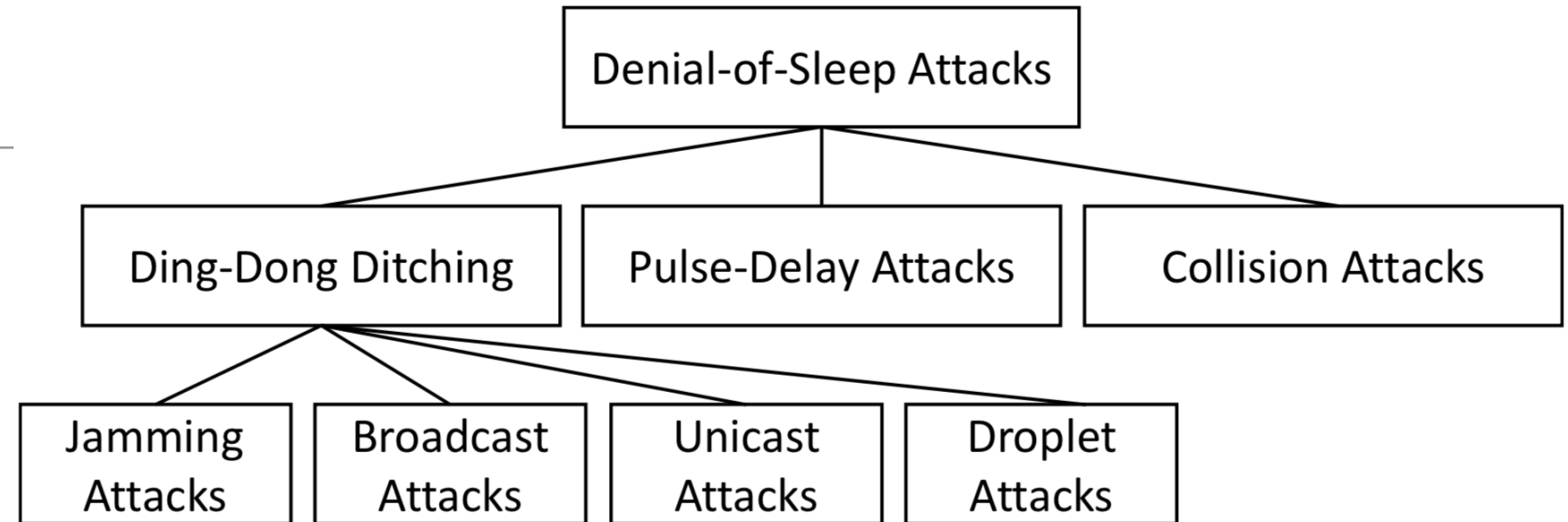
- *Ding-dong ditching*

- Injection/rejet : trames broadcast ou unicast
 - Droplet : injection/rejet des débuts de trames 802.15.4
 - Détection des récepteurs = mode actif
 - Brouillage : permanent ou sélectif



Déni de sommeil

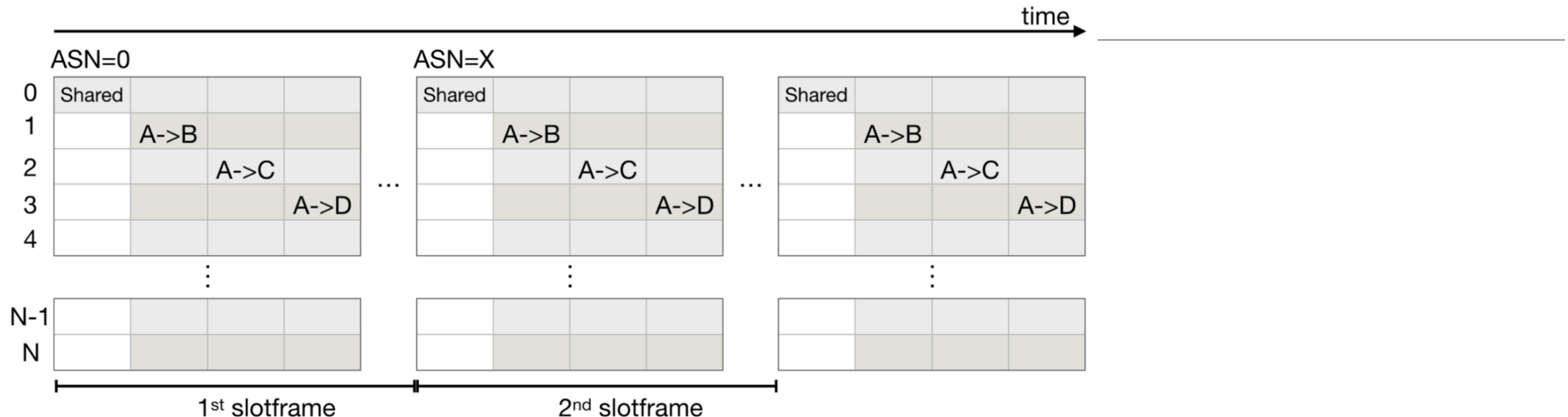
- Objectif
 - Epuiser les objets



- *Ding-dong ditching*
 - Injection/rejeu : trames broadcast ou unicast
 - Droplet : injection/rejeu des débuts de trames 802.15.4
 - Détection des récepteurs = mode actif
 - Brouillage : permanent ou sélectif



Sécurité des réseaux 6TiSCH ?



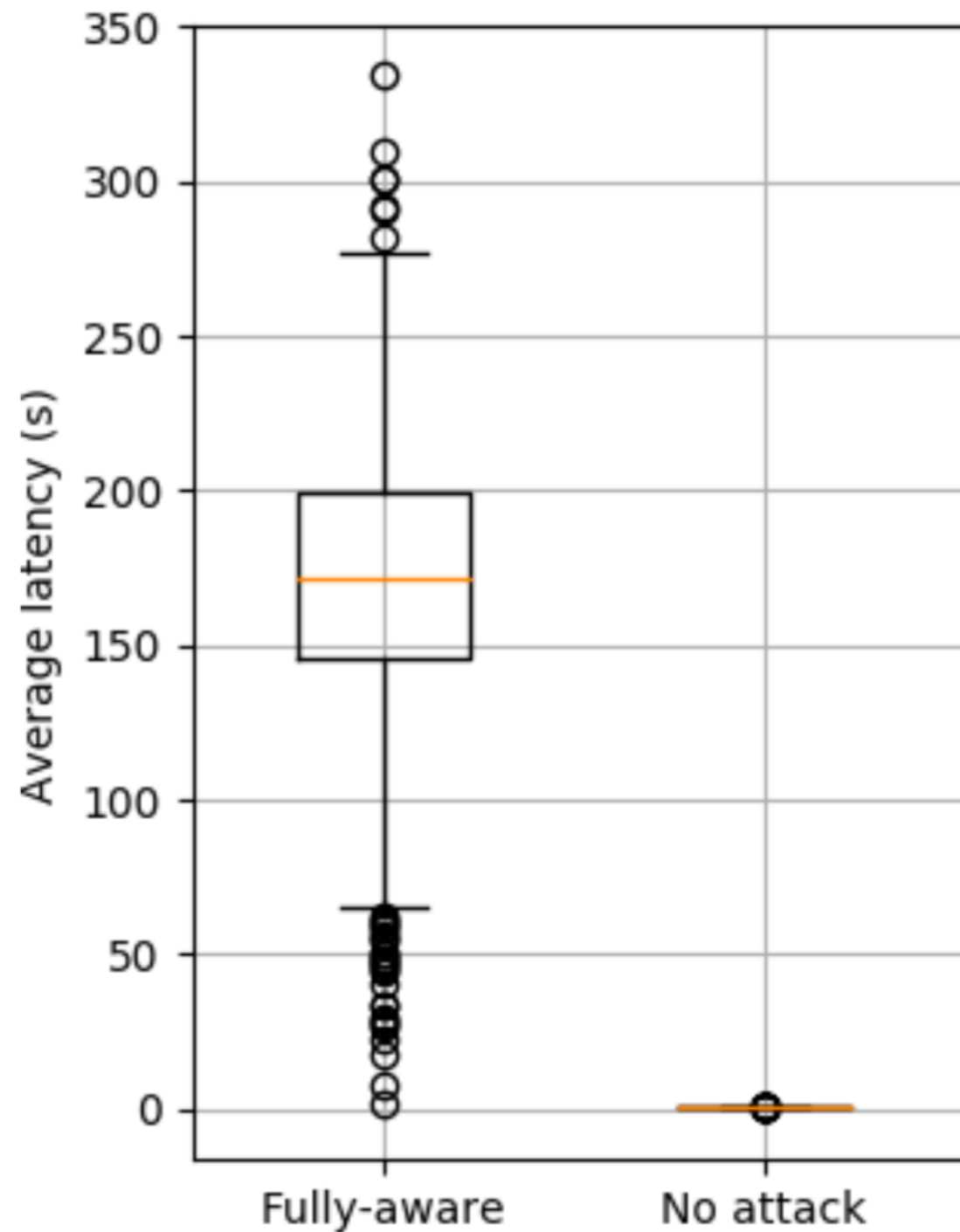
- Robustesse face aux interférences externes, etc.
 - ➡ Et si brouillage sélectif ?
- Avantages du brouillage sélectif : faible coût, impact élevé
 - Objectifs des brouilleurs : induire des consommations d'énergie
 - Contraintes : discrétion (pas tous les canaux), efficace en énergie (sélectif)

Simulation de brouillage sur des réseaux 6TiSCH

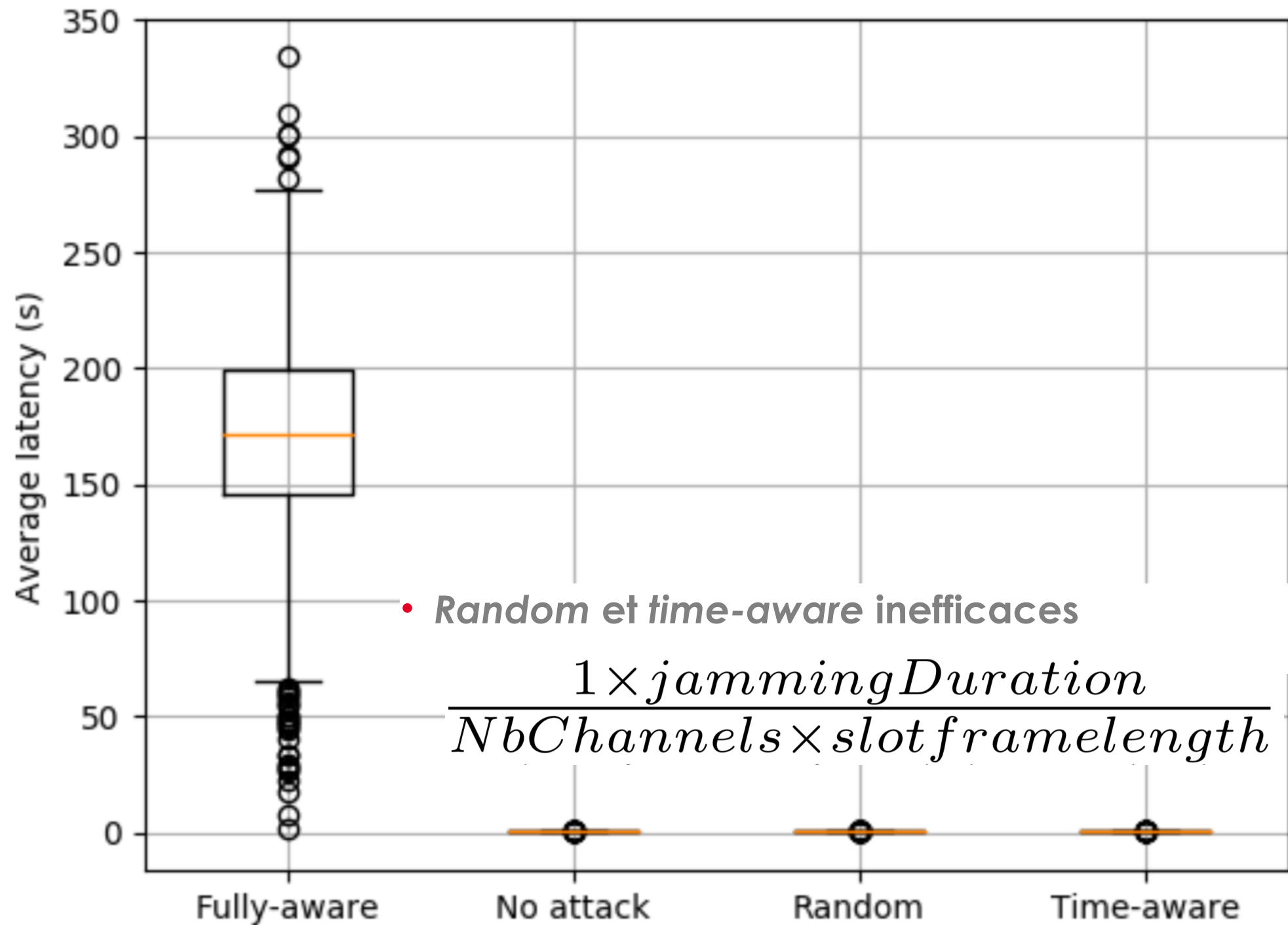
Parameter	Value
• #Runs	1000
• #Slotframes per run	1000
• Application	AppPeriodic
• Packet period	1 s
• Packet length	90 bytes
• Scheduling function	MSF
• Slot duration	15 ms
• #slots per slotframe	101
• Connectivity class	Random
• Square side	2,0
• Initial min PDR	0,95
• #Physical channels	16

- **2 noeuds and 1 attaquant**
- **3 scenarios d'attaque :**
 - *Random* (i.e. !connaissance)
 - *Time-aware* (créneaux connus)
 - *Fully-aware* (créneaux & freq connus)

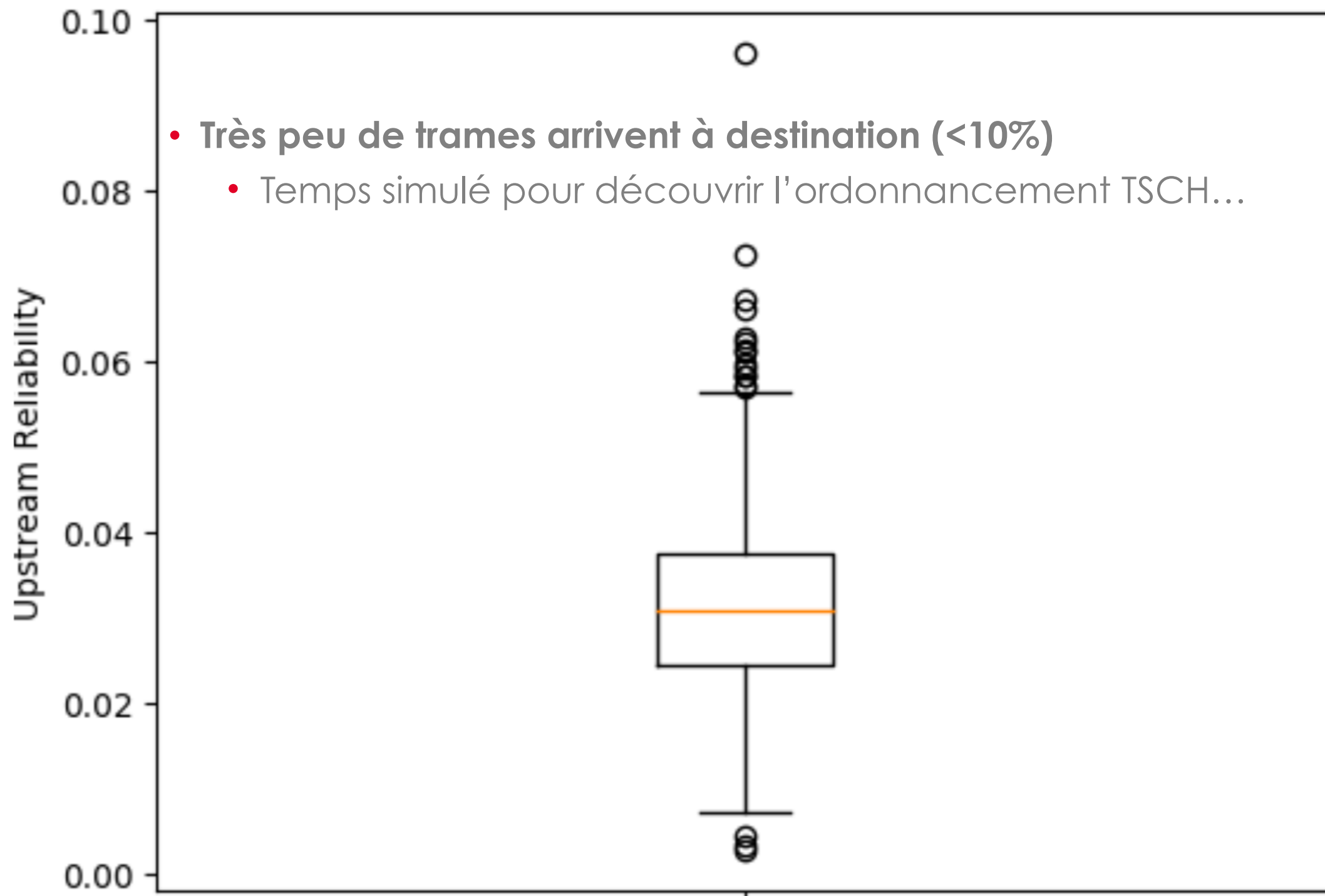
Latences moyennes



Latences moyennes



Fiabilité des flux montants



Fully-aware ?

- **Notations et hypothèses**

- N_s créneaux par slotframe
- N_{ch} canaux disponibles
- N_s et N_{ch} sont premiers entre eux
- $F(x) = x$ (comme dans l'implementation TSCH de Contiki)

$$f = F \{ (ASN + chOf) \mod n_{ch} \}$$

- **Propriétés**

- La **séquence de canaux** utilisée par un lien est **répétée tous les $N_{ch} \times N_s$ créneaux**
- Durant une période, les liens utilisent tous les canaux disponibles (1 fois chacun)
- **Tous les liens suivent la même séquence** avec un certain décalage

➡ Objectif du brouilleur = trouver le décalage appliqué pour un créneau donné
➡ Ainsi découvrir la séquence utilisée par chaque lien !
➡ Suffisant de connaître le numéro de créneau (absolu ou non) et le canal utilisé

M. Tiloca, D. D. Guglielmo, G. Dini, G. Anastasi, and S. K. Das, “DISH: DIstributed SHuffling against selective jamming attack in IEEE 802.15.4e TSCH networks,” ACM Transactions on Sensor Networks, Volume 15 Issue 1, February 2019.

Fully-aware ?

- **Notations et hypothèses**

- N_s créneaux par slotframe
- N_{ch} canaux disponibles
- N_s et N_{ch} sont premiers entre eux
- $F(x) = x$ (comme dans l'implementation TSCH de Contiki)

$$f = F \{ (ASN + chOf) \mod n_{ch} \}$$

- **Propriétés**

- La **séquence de canaux** utilisée par un lien est **répétée tous les $N_{ch} \times N_s$ créneaux**
- Durant une période, les liens utilisent tous les canaux disponibles (1 fois chacun)
- **Tous les liens suivent la même séquence** avec un certain décalage

→ **Objectif du brouilleur = trouver le décalage appliqué pour un créneau donné**

→ **Ainsi découvrir la séquence utilisée par chaque lien !**

→ Suffisant de connaître le numéro de créneau (absolu ou non) et le canal utilisé

M. Tiloca, D. D. Guglielmo, G. Dini, G. Anastasi, and S. K. Das, “DISH: DIstributed SHuffling against selective jamming attack in IEEE 802.15.4e TSCH networks,” ACM Transactions on Sensor Networks, Volume 15 Issue 1, February 2019.

Fully-aware ?

- **Notations et hypothèses**

- N_s créneaux par slotframe
- N_{ch} canaux disponibles
- N_s et N_{ch} sont premiers entre eux
- $F(x) = x$ (comme dans l'implementation TSCH de Contiki)

$$f = F \{ (ASN + chOf) \mod n_{ch} \}$$

- **Propriétés**

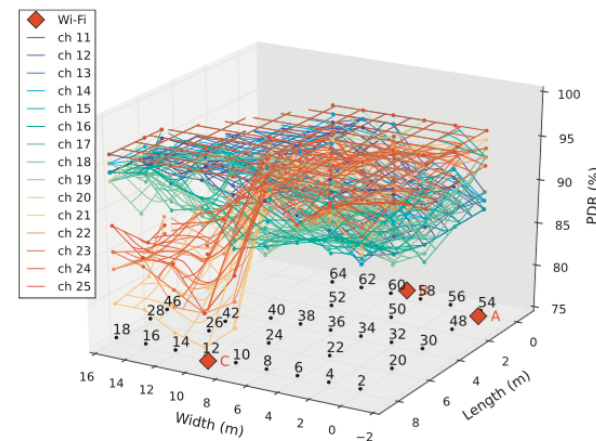
- La **séquence de canaux** utilisée par un lien est **répétée tous les $N_{ch} \times N_s$ créneaux**
- Durant une période, les liens utilisent tous les canaux disponibles (1 fois chacun)
- **Tous les liens suivent la même séquence** avec un certain décalage

- **Objectif du brouilleur = trouver le décalage appliqué pour un créneau donné**
- **Ainsi découvrir la séquence utilisée par chaque lien !**
- **Suffisant de connaître le numéro de créneau (absolu ou non) et le canal utilisé**

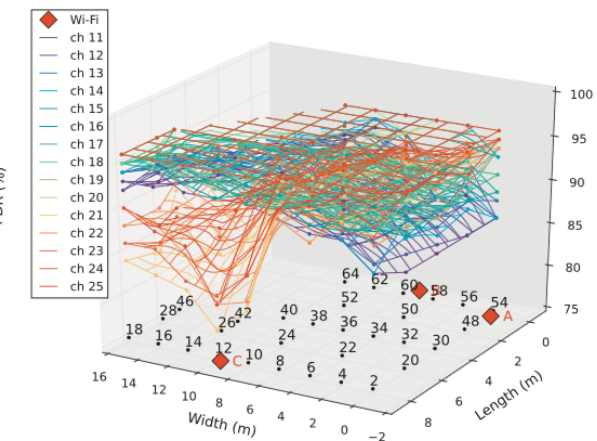
M. Tiloca, D. D. Guglielmo, G. Dini, G. Anastasi, and S. K. Das, “DISH: DIistributed SHuffling against selective jamming attack in IEEE 802.15.4e TSCH networks,” ACM Transactions on Sensor Networks, Volume 15 Issue 1, February 2019.

Détection d'attaques ? Résilience ?

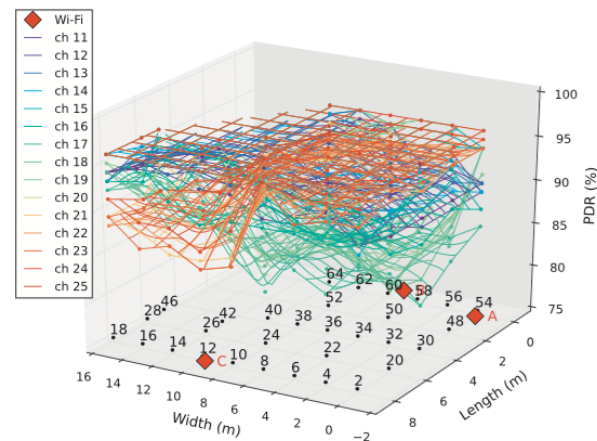
- Détection d'attaques de brouillage
 - Conditions normales d'opération ?
 - Apprentissage ?



(a) Day 1 (afternoon).



(b) Day 2 (morning).



(c) Day 3 (night).

- Résilience face au déni de sommeil

- Maintenir l'accès aux données ?

→ Redondance des données

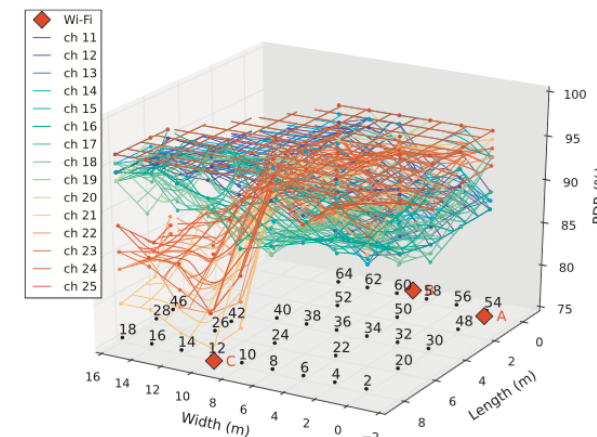
- Riposter ?

• Décisions collectives

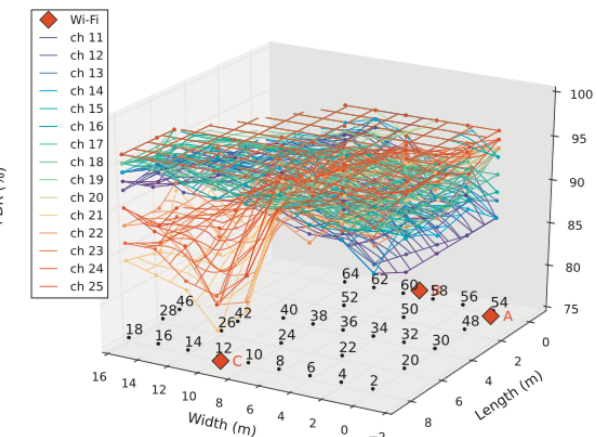
→ Isolations des attaquants (e.g., MAC, routage)

Détection d'attaques ? Résilience ?

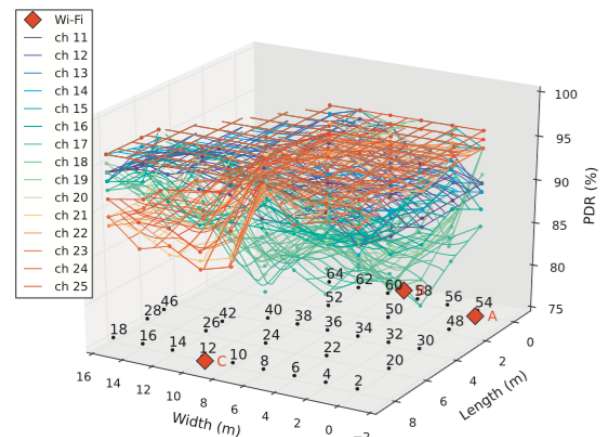
- Détection d'attaques de brouillage
 - Conditions normales d'opération ?
 - Apprentissage ?



(a) Day 1 (afternoon).



(b) Day 2 (morning).



(c) Day 3 (night).

- Résilience face au déni de sommeil

- Maintenir l'accès aux données ?
 - Redondance des données
- Riposter ?
 - Décisions collectives
 - Isolations des attaquants (e.g., MAC, routage)

Conclusion et perspectives

- **Disponibilité (via l'exemple de la stabilité des réseaux)**
 - Routage utilisé pour la configuration MAC
 - Eviter les réactions excessives aux changements de parent

→**Prise en compte de la dynamique (e.g., environnement radio, mobilité) ?**
- **Sécurité (via l'exemple des attaques de déni de sommeil)**
 - Brouilleurs *Random* et *time-aware* inefficaces contre les réseaux 6TiSCH
 - Topologies plus denses ?**
 - Détection et protection contre ces attaques de déni de sommeil ?
 - e.g., Schémas de transmissions dynamiques et ! prédictibles (DISH @TOSN'19)
 - Impact d'autres attaques de déni de sommeil ?
 - e.g., injection/rejet @MAC, @routage ?**

Disponibilité et sécurité des réseaux (I)IoT

Antoine Gallais

Séminaire LAMIH - Université Polytechnique Hauts-de-France (UPHF)

Enseignement @Unistra (2009-17)	Responsabilités	~265h /an ~350h Ingénieur, ~450h Master, ~1400h Licence (FI, Altern., EAD, VAE) <i>Systèmes et réseaux (113,5h/an), sécurité des systèmes et des réseaux (52h/an)</i>
Recherche @ICube (2008-*)	60 publications	14 revues inter., 29 conf. internationales <i>MAC, routage, éval. perf., tolérance aux pannes, sécurité</i>
@Inria (2017-19)	46 étudiants	7 doctorants dont 4 en cours <i>Planification d'itinéraire et mobilité intelligente</i> <i>Nano-systèmes autonomes pour la protection de la vie privée dans l'IoT</i> <i>Authentification et Autorisation pour stockage en Cloud</i>
	17 projets	5 internationaux, 5 nationaux, 7 locaux <i>en cours : 1 ANR JCJC, 2 collab. indus. (T&S, Cisco)</i>